

## บทที่ 4 สายอากาศแบบเส้นลวดตรง

### 4.1 บทนำ

ในบทนี้จะเป็นการศึกษาคุณลักษณะการแผ่พลังงานของสายอากาศแบบเส้นลวดตรง (Linear wire antenna) ได้แก่ สายอากาศไดโพล (Dipole antenna) และสายอากาศโมโนโพล (Monopole antenna) โดยสายอากาศแบบเส้นลวดตรงเป็นสายอากาศแบบพื้นฐานที่ถูกนำมาประยุกต์ใช้งานในระบบการสื่อสารแบบไร้สายอย่างกว้างขวาง เนื่องจากมีรูปร่างไม่ซับซ้อนและสร้างได้ง่ายที่สุด โดยทั่วไปจะสร้างจากเส้นลวดตัวนำ สำหรับการวิเคราะห์คุณลักษณะของสายอากาศแบบเส้นลวดจะสมมติให้เส้นลวดมีรัศมีเล็กมาก ๆ เมื่อเทียบกับความยาวคลื่นของความถี่ที่ใช้งาน ซึ่งจากการคำนวณหาสนามไฟฟ้าและสนามแม่เหล็กของสายอากาศดังที่กล่าวไว้ในบทที่แล้วจะเริ่มจากการกำหนดกระแสที่กระจายอยู่บนเส้นลวด ซึ่งกระแสจะมีการเปลี่ยนแปลงตามความยาวของเส้นลวด จากนั้นนำกระแสไปคำนวณหาสนามไฟฟ้าและสนามแม่เหล็กโดยใช้ศักย์เวกเตอร์แม่เหล็ก ( $\mathbf{A}$ ) ดังนั้นเมื่อรู้ค่าสนามไฟฟ้าและสนามแม่เหล็กแล้วก็จะสามารถนำไปคำนวณหาคุณลักษณะต่าง ๆ ของสายอากาศได้ เช่น สภาพเจาะจงทิศทาง อัตราขยาย ความต้านทานการแผ่พลังงาน และความต้านทานอินพุท เป็นต้น

### 4.2 ไดโพลเส้นตรงขนาดจิ๋ว

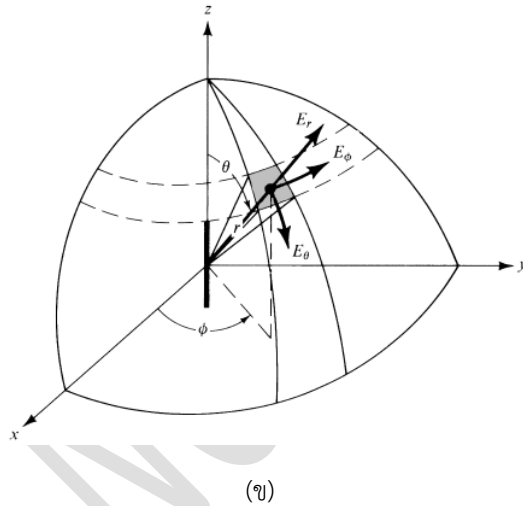
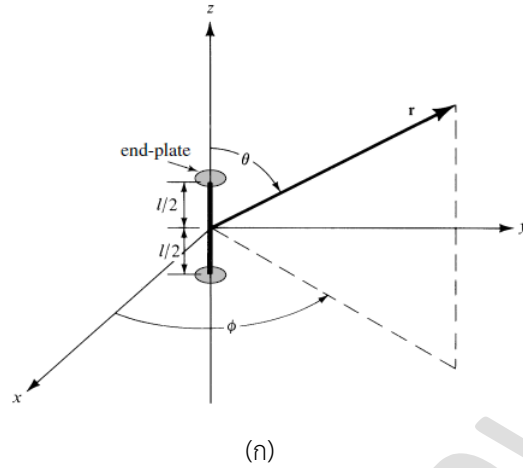
ไดโพลเส้นตรงขนาดจิ๋ว (Infinitesimal dipole) เป็นไดโพลที่มีความยาวของเส้นลวดน้อยกว่าความยาวคลื่นมาก ๆ ( $l \ll \lambda$ ) ดังแสดงในรูปที่ 4.1(ก) อย่างไรก็ตามสายอากาศไดโพลจิ๋วไม่ได้ถูกนำมาใช้ในทางปฏิบัติ แต่มักนำมาใช้เป็นพื้นฐานในการวิเคราะห์และคำนวณหาผลเฉลยของสนามแม่เหล็กไฟฟ้าเพื่อนำไปใช้ประโยชน์กับสายอากาศอื่น ๆ ต่อไป

#### 4.2.1 การแผ่พลังงานของไดโพลจิ๋ว

เนื่องจากไดโพลจิ๋วมีความยาวสั้นมาก ๆ ( $l \ll \lambda$ ) และมีรัศมีของเส้นลวดเล็กมาก ๆ ( $a \ll \lambda$ ) จึงสมมติให้การเปลี่ยนแปลงของกระแสบนเส้นลวดมีค่าคงที่ นั่นคือ

$$\mathbf{I}(z') = \hat{\mathbf{a}}_z I_0 \quad (4.1)$$

เมื่อ  $I_0$  คือ ค่าคงที่



#### รูปที่ 4.1 การวางตำแหน่งของสายอากาศไดโพลจิวและองค์ประกอบสนามไฟฟ้าในระบบพิกัดทรงกลม

โดยสนามที่ถูกแผ่ออกจากไดโพลจิวจากองค์ประกอบกระแสไฟฟ้าจะมีขั้นตอนไปการหาอยู่สองขั้นตอนดังที่ได้กล่าวในบทที่ 3 คือ เริ่มต้นจากการหาคักย์เวกเตอร์  $\mathbf{A}$  และ  $\mathbf{F}$  จากนั้นหาสนาม  $\mathbf{E}$  และ  $\mathbf{H}$  โดยใช้ความสัมพันธ์ระหว่างศักย์เวกเตอร์  $\mathbf{A}$  และกระแสไฟฟ้า  $\mathbf{J}$  หรือใช้ความสัมพันธ์ระหว่างศักย์เวกเตอร์  $\mathbf{F}$  และกระแสแม่เหล็ก  $\mathbf{M}$  เนื่องจากไดโพลจิวมีเพียงกระแสไฟฟ้า  $I_e$  เท่านั้น ส่วนกระแสแม่เหล็ก  $I_m$  และศักย์เวกเตอร์  $\mathbf{F}$  มีค่าเท่ากับศูนย์ ดังนั้นสามารถหาคักย์เวกเตอร์  $\mathbf{A}$  ได้คือ

$$\mathbf{A}(x, y, z) = \frac{\mu}{4\pi} \int_C I_e(x', y', z') \frac{e^{-jkR}}{R} dl' \quad (4.2)$$

เมื่อ  $(x, y, z)$  คือ ตำแหน่งของจุดสังเกต และ  $(x', y', z')$  คือ ตำแหน่งของแหล่งกำเนิด ส่วน  $R$  คือ ระยะทางจากแหล่งกำเนิดไปยังจุดสังเกต และเส้นทาง  $C$  คือ ความยาวตามเส้นของแหล่งกำเนิดดัง แสดงในรูปที่ 4.1 ดังนั้น

$$I_e(x', y', z') = \hat{\mathbf{a}}_z I_0 \quad (4.3ก)$$

สำหรับกรณีไดโพลจั่ว  $(x', y', z') = (0, 0, 0)$  จะได้

$$R = \sqrt{(x - x')^2 + (y - y')^2 + (z - z')^2} = \sqrt{x^2 + y^2 + z^2} = r \quad (4.3ข)$$

และ

$$dl' = dz' \quad (4.3ค)$$

ดังนั้นสมการ (4.2) เขียนใหม่ได้เป็น

$$\mathbf{A}(x, y, z) = \hat{\mathbf{a}}_z \frac{\mu I_0}{4\pi r} e^{-jk r} \int_{-l/2}^{+l/2} dz' = \hat{\mathbf{a}}_z \frac{\mu I_0 l}{4\pi r} e^{-jk r} \quad (4.4)$$

ขั้นตอนต่อมาคือการหาสนามไฟฟ้า  $\mathbf{E}_A$  และสนามแม่เหล็ก  $\mathbf{H}_A$  จากศักย์เวกเตอร์  $\mathbf{A}$  เนื่องจากการใช้ พิกัดทรงกลมจะทำให้ง่ายกว่าระบบพิกัดฉาก ดังนั้นจึงต้องทำการแปลงองค์ประกอบในระบบพิกัดฉาก เป็นพิกัดทรงกลม โดยใช้ความสัมพันธ์คือ

$$\begin{bmatrix} A_r \\ A_\theta \\ A_\phi \end{bmatrix} = \begin{bmatrix} \sin \theta \cos \phi & \sin \theta \sin \phi & \cos \theta \\ \cos \theta \cos \phi & \cos \theta \sin \phi & -\sin \theta \\ -\sin \phi & \cos \phi & 0 \end{bmatrix} \begin{bmatrix} A_x \\ A_y \\ A_z \end{bmatrix} \quad (4.5)$$

เนื่องจาก  $\mathbf{A}$  มีเฉพาะองค์ประกอบในทิศทาง  $z$  เท่านั้น ทำให้  $A_x = A_y = 0$  ดังนั้นจากสมการ (4.5) เมื่อนำไปแทนในสมการ (4.4) จะได้

$$A_r = A_z \cos \theta = \frac{\mu I_0 l e^{-jk r}}{4\pi r} \cos \theta \quad (4.6ก)$$

$$A_\theta = -A_z \sin \theta = -\frac{\mu I_0 l e^{-jkr}}{4\pi r} \sin \theta \quad (4.6ข)$$

$$A_\phi = 0 \quad (4.6ค)$$

จากสมการ (3.2ก)  $\mathbf{H}_A = \frac{1}{\mu} \nabla \times \mathbf{A}$  ดังนั้นสามารถหาสนามแม่เหล็กในระบบพิกัดทรงกลมได้คือ

$$\mathbf{H} = \hat{\mathbf{a}}_\phi \frac{1}{\mu r} \left[ \frac{\partial}{\partial r} (r A_\theta) - \frac{\partial A_r}{\partial \theta} \right] \quad (4.7)$$

แทนสมการ (4.6ก) - (4.6ข) ลงในสมการ (4.7) จะได้

$$H_r = H_\theta = 0 \quad (4.8ก)$$

$$H_\phi = j \frac{k I_0 l \sin \theta}{4\pi r} \left[ 1 + \frac{1}{jkr} \right] e^{-jkr} \quad (4.8ข)$$

สนามไฟฟ้า  $\mathbf{E}$  สามารถหาได้จากสมการ (3.15) หรือ (3.10) เมื่อให้  $\mathbf{J} = 0$  นั่นคือ

$$\mathbf{E}_A = -j\omega \mathbf{A} - j \frac{1}{\omega \mu \epsilon} \nabla (\nabla \cdot \mathbf{A}) = \frac{1}{j\omega \epsilon} \nabla \times \mathbf{H} \quad (4.9)$$

และแทนสมการที่ (4.6ก) - (4.6ค) หรือสมการที่ (4.8ก) - (4.8ข) ลงในสมการที่ (4.9) จะได้

$$E_r = \eta \frac{I_0 l \cos \theta}{2\pi r^2} \left[ 1 + \frac{1}{jkr} \right] e^{-jkr} \quad (4.10ก)$$

$$E_\theta = j\eta \frac{k I_0 l \sin \theta}{4\pi r} \left[ 1 + \frac{1}{jkr} - \frac{1}{(kr)^2} \right] e^{-jkr} \quad (4.10ข)$$

$$E_\phi = 0 \quad (4.10ค)$$

โดยที่สนาม  $\mathbf{E}$  และ  $\mathbf{H}$  ณ รัศมี  $r$  ใด ๆ ยกเว้นที่จุดกำเนิดสามารถแสดงได้ดังรูปที่ 4.1(ข)

#### 4.2.2 ความหนาแน่นกำลังงานและความต้านทานการแผ่พลังงาน

ในการหาความต้านทานการแผ่พลังงานสำหรับสายอากาศที่ไม่มีการสูญเสียสามารถหาได้จากพอยต์ติงเวกเตอร์ที่อยู่ในรูปของการกระจายของสนาม  $\mathbf{E}$  และ  $\mathbf{H}$  จากสายอากาศ จากนั้นทำการอินทิเกรตพอยต์ติงเวกเตอร์บนผิวปิดทรงกลมที่มีรัศมีคงที่ ซึ่งจะได้กำลังการแผ่พลังงานทั้งหมดของแหล่งกำเนิด โดยในส่วนของจำนวนจริงของกำลังงานจะสัมพันธ์กับความต้านทานอินพุท

ดังนั้นสำหรับกรณีของไดโพลจิ๋ว พอยต์ติงเวกเตอร์เชิงซ้อนสามารถเขียนได้จากสมการที่ (4.8ก) – (4.8ข) และ (4.10ก) – (4.10ค) ได้คือ

$$\begin{aligned}\mathbf{W} &= \frac{1}{2}(\mathbf{E} \times \mathbf{H}^*) = \frac{1}{2}(\hat{\mathbf{a}}_r E_r + \hat{\mathbf{a}}_\theta E_\theta) \times (\hat{\mathbf{a}}_\phi H_\phi^*) \\ &= \frac{1}{2}(\hat{\mathbf{a}}_r E_\theta H_\phi^* - \hat{\mathbf{a}}_\theta E_r H_\phi^*)\end{aligned}\quad (4.11)$$

ซึ่งจะต้องประกอบของความหนาแน่นกำลังงาน  $W_r$  และ  $W_\theta$  คือ

$$W_r = \frac{\eta}{8} \left| \frac{I_0 l}{\lambda} \right|^2 \frac{\sin^2 \theta}{r^2} \left[ 1 - j \frac{1}{(kr)^3} \right] \quad (4.12ก)$$

$$W_\theta = j\eta \frac{k |I_0 l|^2 \cos \theta \sin \theta}{16\pi^2 r^3} \left[ 1 + \frac{1}{(kr)^2} \right] \quad (4.12ข)$$

โดยสามารถนำไปคำนวณหาพลังงานที่พุ่งตัดผ่านพื้นที่ผิวปิดทรงกลมที่มีรัศมี  $r$  ได้คือ

$$P = \oint_S \mathbf{W} \cdot d\mathbf{S} = \int_0^{2\pi} \int_0^\pi (\hat{\mathbf{a}}_r W_r + \hat{\mathbf{a}}_\theta W_\theta) \cdot \hat{\mathbf{a}}_r r^2 \sin \theta d\theta d\phi \quad (4.13)$$

ซึ่งสามารถสรุปได้เป็น

$$P = \int_0^{2\pi} \int_0^\pi W_r r^2 \sin \theta d\theta d\phi = \eta \frac{\pi}{3} \left| \frac{I_0 l}{\lambda} \right|^2 \left[ 1 - j \frac{1}{(kr)^3} \right] \quad (4.14)$$

จากสมการ (4.14) จะเห็นได้ว่ากำลังงานประกอบด้วยส่วนจริงและส่วนจินตภาพหรือสามารถเขียนได้คือ

$$P = \frac{1}{2} \iint_S \mathbf{E} \times \mathbf{H}^* \cdot d\mathbf{S} = \eta \frac{\pi}{3} \left| \frac{I_0 l}{\lambda} \right|^2 \left[ 1 - j \frac{1}{(kr)^3} \right] \quad (4.15)$$

$$= P_{rad} + j2\omega(\tilde{W}_m - \tilde{W}_e)$$

โดยที่  $P$  คือ กำลังงาน (ทิศทางการแผ่รังสี)

$P_{rad}$  คือ กำลังการแผ่พลังงานเฉลี่ยทางเวลา

$\tilde{W}_m$  คือ ความหนาแน่นกำลังงานแม่เหล็กเฉลี่ยทางเวลา (ทิศทางการแผ่รังสี)

$\tilde{W}_e$  คือ ความหนาแน่นกำลังงานไฟฟ้าเฉลี่ยทางเวลา (ทิศทางการแผ่รังสี)

$2\omega(\tilde{W}_m - \tilde{W}_e)$  คือ กำลังรีแอกทีฟเฉลี่ยทางเวลา (ทิศทางการแผ่รังสี)

จากสมการ (4.15) จะเห็นได้ว่า

$$P_{rad} = \eta \left( \frac{\pi}{3} \right) \left| \frac{I_0 l}{\lambda} \right|^2 \quad (4.16)$$

และ

$$2\omega(\tilde{W}_m - \tilde{W}_e) = -\eta \left( \frac{\pi}{3} \right) \left| \frac{I_0 l}{\lambda} \right|^2 \frac{1}{(kr)^3} \quad (4.17)$$

จากสมการ (4.17) จะสังเกตเห็นว่าด้านขวามือของสมการมีค่าเป็นลบ นั่นแสดงให้เห็นว่าความหนาแน่นกำลังงานไฟฟ้ามีค่ามากกว่าความหนาแน่นกำลังงานแม่เหล็ก โดยกำลังงานรีแอกทีฟนี้จะมีค่าลดลงเรื่อย ๆ และหายไปเมื่อ  $kr = \infty$

เนื่องจากสายอากาศมีการแผ่พลังงานเป็นกำลังงานจริงผ่านความต้านทานการแผ่พลังงาน ดังนั้นในกรณีไดโพลจิว กำลังการแผ่พลังงานแสดงได้คือ

$$P_{rad} = \eta \left( \frac{\pi}{3} \right) \left| \frac{I_0 l}{\lambda} \right|^2 = \frac{1}{2} |I_0|^2 R_r \quad (4.18)$$

และสามารถหาความต้านทานการแผ่พลังงาน ( $R_r$ ) ของสายอากาศไดโพลจั่วได้คือ

$$R_r = \eta \left( \frac{2\pi}{3} \right) \left( \frac{l}{\lambda} \right)^2 = 80\pi^2 \left( \frac{l}{\lambda} \right)^2 \quad (4.19)$$

โดยสายอากาศเส้นลวดที่เข้านิยามตามไดโพลจั่ว นั้น ความยาวรวมทั้งหมดต้องสั้นมากๆ กล่าวคือ ความยาวทั้งหมดต้องเป็นไปตามเงื่อนไขคือ  $l \ll \lambda / 50$

**ตัวอย่างที่ 4.1** จงหาค่าความต้านทานการแผ่พลังงานของสายอากาศไดโพลจั่วที่มีความยาวคือ

$$l = \lambda / 50$$

**วิธีทำ**

ความต้านทานการแผ่พลังงานของไดโพลจั่วสามารถหาได้จากสมการ

$$R_r = 80\pi^2 \left( \frac{l}{\lambda} \right)^2 = 80\pi^2 \left( \frac{1}{50} \right)^2 = 0.316 \, \Omega$$

จากการคำนวณจะเห็นว่า ค่าความต้านทานการแผ่พลังงานของไดโพลจั่วมีค่าเท่ากับ  $0.316 \, \Omega$  ซึ่งมีค่าน้อยมาก ๆ ดังนั้นถ้าไดโพลจั่วถูกนำไปต่อกับสายส่งในทางปฏิบัติที่มีค่าอิมพีแดนซ์คุณลักษณะเท่ากับ  $50 \, \Omega$  หรือ  $75 \, \Omega$  จะเกิดการไม่แมตช์อย่างมาก ทำให้เกิดการสะท้อนกลับของสัญญาณที่หัวอินพุทของสายอากาศ จึงส่งผลให้ประสิทธิภาพรวมของสายอากาศมีค่าต่ำมากด้วย

นอกจากนี้ค่ารีแอกแตนซ์ของไดโพลจั่วจะเป็นค่าความจุ (Capacitive) ดังนั้นไดโพลก็เปรียบเสมือนสายนำสัญญาณปลายเปิด เนื่องจากอิมพีแดนซ์อินพุทของสายส่งปลายเปิดที่มีความยาว  $l/2$  จากปลายสายจะมีค่าเท่ากับ  $Z_{in} = -jZ_0 \cot(\beta l/2)$  เมื่อ  $Z_0$  คืออิมพีแดนซ์คุณลักษณะของสายส่ง และอิมพีแดนซ์อินพุท ( $Z_{in}$ ) แสดงค่าเป็นลบ เมื่อ  $l \ll \lambda$

### 4.2.3 ระยะทางเรเดียนและทรงกลมเรเดียน

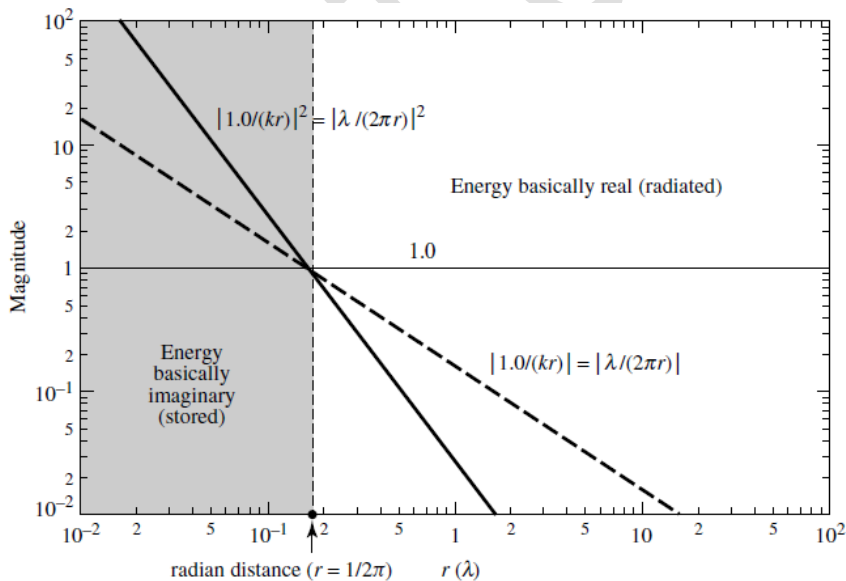
เมื่อพิจารณาสนาม **E** และ **H** ของไดโพลจิวในสมการ (4.8ก) – (4.8ข) และสมการ (4.10ก) – (4.10ค) จะพบว่าสนามจะขึ้นอยู่กับระยะทาง  $r$  เมื่อวัดจากจุดกำเนิด โดยสามารถสรุปได้คือ

(ก) ที่ระยะ  $r = \lambda / 2\pi$  หรือ  $kr = 1$  จะเรียกระยะทางนี้ว่า ระยะเรเดียน (Radian distance) ดังแสดงในรูปที่ 4.2

(ข) ที่ระยะ  $r < \lambda / 2\pi$  หรือ  $kr < 1$  จะเรียกระยะทางนี้ว่า บริเวณสนามระยะใกล้ (Near-field region) และพลังงานในบริเวณนี้จะมีค่าเป็นค่าจำนวนจินตภาพ (พลังงานเก็บสะสม)

(ค) ที่ระยะ  $r > \lambda / 2\pi$  หรือ  $kr > 1$  จะเรียกระยะทางนี้ว่า บริเวณสนามระยะกลาง (Intermediate-field region) แต่ถ้า  $r \gg \lambda / 2\pi$  หรือ  $kr \gg 1$  จะเรียกว่า บริเวณสนามระยะไกล (Far-field region) ซึ่งพลังงานในบริเวณนี้จะเป็นค่าจำนวนจริง (การแผ่พลังงาน)

(ง) ทรงกลมที่มีรัศมีเท่ากับระยะเรเดียน  $r = \lambda / 2\pi$  จะเรียกว่า ทรงกลมเรเดียน (Radian sphere) และบริเวณภายในทรงกลมนี้จะมีค่าความหนาแน่นกำลังงานรีแอกทีฟมากกว่าความหนาแน่นการแผ่พลังงาน



รูปที่ 4.2 การเปลี่ยนแปลงของขนาดเทียบกับฟังก์ชันระยะทางในแนวรัศมีสำหรับการกระจายสนามของไดโพลจิว



#### 4.2.4 บริเวณสนามระยะใกล้ของไดโพลจิว ( $kr \ll 1$ )

จากสมการที่ (4.8ก) – (4.8ข) และ (4.10ก) – (4.10ค) สำหรับ  $kr \ll 1$  โดยพิจารณาการเปลี่ยนแปลงของขนาดของสนามเทียบกับฟังก์ชันระยะทางในแนวรัศมีดังแสดงในรูปที่ 4.2 จะสามารถเขียนสนามให้อยู่ในรูปอย่างง่ายและประมาณค่าได้ดังนี้

$$\left. \begin{aligned} E_r &\simeq j\eta \frac{I_0 l e^{-jkr}}{2\pi k r^3} \cos \theta \\ E_\theta &\simeq -j\eta \frac{I_0 l e^{-jkr}}{4\pi k r^3} \sin \theta \\ E_\phi &= H_r = H_\theta = 0 \\ H_\phi &\simeq \frac{I_0 l e^{-jkr}}{4\pi r^2} \sin \theta \end{aligned} \right\} kr \ll 1 \quad (4.20)$$

#### 4.2.5 บริเวณสนามระยะกลางของไดโพลจิว ( $kr > 1$ )

จากสมการที่ (4.8ก) – (4.8ข) และ (4.10ก) – (4.10ค) สำหรับ  $kr > 1$  โดยพิจารณาการเปลี่ยนแปลงของขนาดของสนามเทียบกับฟังก์ชันระยะทางในแนวรัศมีดังแสดงในรูปที่ 4.2 จะสามารถเขียนสนามให้อยู่ในรูปอย่างง่ายและประมาณค่าได้ดังนี้

$$\left. \begin{aligned} E_r &\simeq \eta \frac{I_0 l e^{-jkr}}{2\pi r^2} \cos \theta \\ E_\theta &\simeq j\eta \frac{k I_0 l e^{-jkr}}{4\pi r} \sin \theta \\ E_\phi &= H_r = H_\theta = 0 \\ H_\phi &\simeq j \frac{k I_0 l e^{-jkr}}{4\pi r} \sin \theta \end{aligned} \right\} kr > 1 \quad (4.21)$$

สนามไฟฟ้ารวมคือ

$$\mathbf{E} = \hat{\mathbf{a}}_r E_r + \hat{\mathbf{a}}_\theta E_\theta \quad (4.22)$$

และขนาดของสนามไฟฟ้าคือ

$$|\mathbf{E}| = \sqrt{|E_r|^2 + |E_\theta|^2} \quad (4.23)$$

#### 4.2.6 บริเวณสนามระยะไกลของไดโพลจั่ว ( $kr \gg 1$ )

จากสมการที่ (4.8ก) – (4.8ข) และ (4.10ก) – (4.10ค) สำหรับ  $kr \gg 1$  โดยพิจารณาการเปลี่ยนแปลงของขนาดของสนามเทียบกับฟังก์ชันระยะทางในแนวรัศมีดังแสดงในรูปที่ 4.2 สนามสามารถประมาณค่าได้ดังนี้

$$\left. \begin{aligned} E_\theta &\simeq j\eta \frac{kI_0 l e^{-jkr}}{4\pi r} \sin \theta \\ E_r = E_\phi = H_r = H_\theta &= 0 \\ H_\phi &\simeq j \frac{kI_0 l e^{-jkr}}{4\pi r} \sin \theta \end{aligned} \right\} kr \gg 1 \quad (4.24)$$

โดยที่อัตราส่วนระหว่าง  $E_\theta$  และ  $H_\phi$  เท่ากับ

$$Z_w = \frac{E_\theta}{H_\phi} \simeq \eta \quad (4.25)$$

โดยที่  $Z_w$  คือ อิมพีแดนซ์ของคลื่น

$\eta$  คือ อินทรีนสิกอิมพีแดนซ์ (สำหรับตัวกลางที่เป็นอวกาศว่าง  $\eta_0 \approx 377 \approx 120\pi$ )

จากสมการสนาม  $\mathbf{E}$  และ  $\mathbf{H}$  ในบริเวณสนามระยะไกลจะเห็นว่า องค์ประกอบสนาม  $\mathbf{E}$  และ  $\mathbf{H}$  จะมีทิศทางตั้งฉากซึ่งกันและกันและเคลื่อนที่ขวางแนวรัศมีของการแผ่พลังงาน โดยรูปร่างของแบบรูปการแผ่พลังงานจะไม่ขึ้นกับระยะทาง  $r$  โดยจะเรียกสนามในลักษณะนี้ว่า สนามแม่เหล็กไฟฟ้าตามขวาง (Transverse Electromagnetic : TEM) ซึ่งค่าอิมพีแดนซ์คลื่นจะเท่ากับอินทรีนสิกอิมพีแดนซ์ของตัวกลาง

#### 4.2.7 สภาพเจาะจงทิศทางของไดโพลจั่ว

ความหนาแน่นพลังงานเฉลี่ยสามารถหาได้คือ

$$\mathbf{W}_{av} = \frac{1}{2} \text{Re}(\mathbf{E} \times \mathbf{H}^*) = \hat{\mathbf{a}}_r \frac{1}{2\eta} |E_\theta|^2 = \hat{\mathbf{a}}_r \frac{\eta}{2} \left| \frac{kI_0 l}{4\pi} \right|^2 \frac{\sin^2 \theta}{r^2} \quad (4.26)$$

ซึ่งความเข้มการแผ่พลังงาน ( $U$ ) สามารถหาได้จากความหนาแน่นกำลังงานเฉลี่ยนั้นคือ

$$U = r^2 W_{av} = \frac{\eta}{2} \left( \frac{kI_0 l}{4\pi} \right)^2 \sin^2 \theta = \frac{r^2}{2\eta} |E_\theta(r, \theta, \phi)|^2 \quad (4.27)$$

โดยที่แบบรูปนอร์มอลไลซ์ของสมการ (4.27) แสดงในรูปที่ 4. 3 ซึ่งความเข้มการแผ่พลังงานจะมีค่ามากที่สุดที่มุม  $\theta = \pi/2$

$$U_{\max} = \frac{\eta}{2} \left( \frac{kI_0 l}{4\pi} \right)^2 \quad (4.28)$$

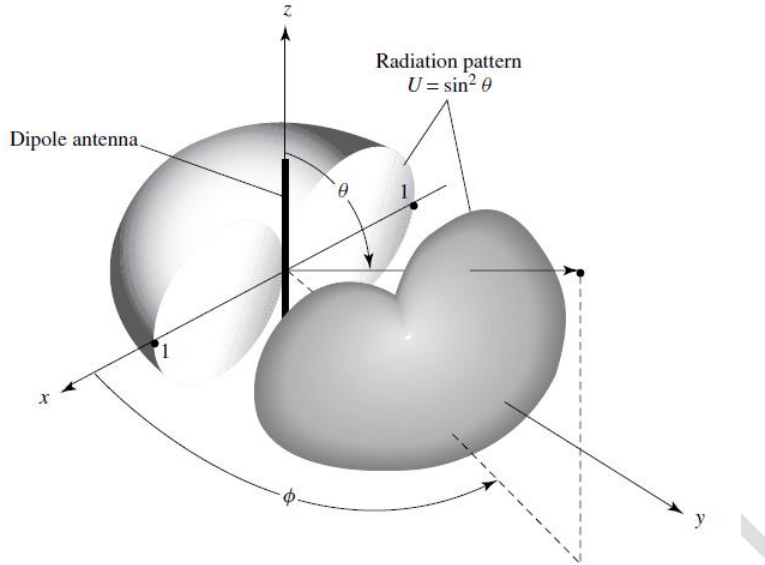
ดังนั้นเมื่อใช้สมการ (4.16) และ (4.28) จะสามารถหาสภาพเจาะจงทิศทางสูงสุดของไดโพลจั่วได้คือ

$$D_0 = 4\pi \frac{U_{\max}}{P_{rad}} = \frac{3}{2} \quad (4.29)$$

และพื้นที่ประสิทธิภาพสูงสุดคือ

$$A_{em} = \left( \frac{\lambda^2}{4\pi} \right) D_0 = \frac{3\lambda^2}{8\pi} \quad (4.30)$$

ซึ่งสามารถสรุปขั้นตอนในการคำนวณหาสนามไฟฟ้าและสนามแม่เหล็กในบริเวณสนามระยะไกลที่แผ่พลังงานออกจากสายอากาศ โดยมีพารามิเตอร์ที่สำคัญในการอธิบายถึงประสิทธิภาพของสายอากาศดังตารางที่ 4.1



รูปที่ 4.3 แบบรูปการแผ่พลังงานสามมิติของไดโพลจิ๋ว

ตารางที่ 4.1 สรุปขั้นตอนการคำนวณคุณลักษณะการแผ่พลังงานที่บริเวณสนามระยะไกลของสายอากาศ

1. กำหนดความหนาแน่นของกระแสไฟฟ้าและ/หรือสนามแม่เหล็ก  $\mathbf{J}$  และ  $\mathbf{M}$
2. คำนวณหาค่าประกอบคิกซ์เวกเตอร์  $A_\theta$  หรือ  $A_\phi$  และ/หรือ  $F_\theta$  หรือ  $F_\phi$  ในสนามระยะไกล โดยใช้สมการ (3.27) – (3.32)
3. คำนวณหาสนามที่แผ่พลังงานในบริเวณสนามระยะไกลของ  $\mathbf{E}$  และ  $\mathbf{H}$  ( $E_\theta, E_\phi, H_\theta, H_\phi$ ) โดยใช้สมการ (3.39ก) – (3.39ข)
4. เมื่อรู้ค่าของ  $\mathbf{E}$  และ  $\mathbf{H}$  จะสามารถหาพารามิเตอร์อื่น ๆ ของสายอากาศได้คือ

$$\mathbf{W}_{rad}(r, \theta, \phi) = \mathbf{W}_{av}(r, \theta, \phi) = \frac{1}{2} \text{Re}[\mathbf{E} \times \mathbf{H}^*]$$

$$\simeq \frac{1}{2} \text{Re}[(\hat{\mathbf{a}}_\theta E_\theta + \hat{\mathbf{a}}_\phi E_\phi) \times (\hat{\mathbf{a}}_\theta H_\theta^* + \hat{\mathbf{a}}_\phi H_\phi^*)]$$

$$\mathbf{W}_{rad}(r, \theta, \phi) = \hat{\mathbf{a}}_r \frac{1}{2} \left[ \frac{|E_\theta|^2 + |E_\phi|^2}{\eta} \right] = \hat{\mathbf{a}}_r \frac{1}{r^2} |f(\theta, \phi)|^2$$

ตารางที่ 4.1 สรุปขั้นตอนการคำนวณคุณลักษณะการแผ่พลังงานที่บริเวณสนามระยะไกลของสายอากาศ  
(ต่อ)

หรือ

$$U(\theta, \phi) = r^2 W_{rad}(r, \theta, \phi) = |f(\theta, \phi)|^2$$

5. กำลังการแผ่พลังงาน

$$(ก) \quad P_{rad} = \int_0^{2\pi} \int_0^\pi W_{rad}(r, \theta, \phi) r^2 \sin \theta d\theta d\phi$$

$$(ข) \quad P_{rad} = \int_0^{2\pi} \int_0^\pi U(r, \theta, \phi) \sin \theta d\theta d\phi$$

6. คำนวณหาสภาพเจาะจงทิศทางได้คือ

$$D(\theta, \phi) = \frac{U(\theta, \phi)}{U_0} = 4\pi \frac{U(\theta, \phi)}{P_{rad}}$$

$$D_0 = D_{max} = D(\theta, \phi)|_{max} = \frac{U(\theta, \phi)|_{max}}{U_0} = 4\pi \frac{U(\theta, \phi)|_{max}}{P_{rad}}$$

7. รูปแบบกำลังที่ถูกนอร์มอลไลซ์คือ

$$P_n(\theta, \phi) = \frac{U(\theta, \phi)}{U_{max}}$$

8. ความต้านทานการแผ่พลังงาน และความต้านทานอินพุตสามารถคำนวณหาได้คือ

$$R_r = \frac{2P_{rad}}{|I_0|^2}, \quad R_{in} = \frac{R_r}{\sin^2\left(\frac{kl}{2}\right)}$$

9. พื้นที่ประสิทธิภาพสูงสุดสามารถหาได้คือ

$$A_{em} = \frac{\lambda^2}{4\pi} D_0$$

### 4.3 ไดโพลเล็ก

ไดโพลเล็ก (Small dipole) เป็นไดโพลที่มีความยาวของเส้นลวดคือ  $\lambda / 50 < l \leq \lambda / 10$  ซึ่งการกระจายของกระแสจะมีการเปลี่ยนแปลงในรูปของสามเหลี่ยม ดังนั้นสำหรับไดโพลเล็กที่วางอยู่บนแกน  $z$  ดังแสดงในรูปที่ 4.4(ก) และมีการกระจายของกระแสแสดงดังรูป 4.4(ข) สามารถเขียนได้คือ

$$I_e(x', y', z') = \begin{cases} \hat{\mathbf{a}}_z I_0 \left(1 - \frac{2}{l} z'\right), & 0 \leq z' \leq l/2 \\ \hat{\mathbf{a}}_z I_0 \left(1 + \frac{2}{l} z'\right), & -l/2 \leq z' \leq 0 \end{cases} \quad (4.31)$$

โดยที่  $I_0$  คือ ค่าคงที่

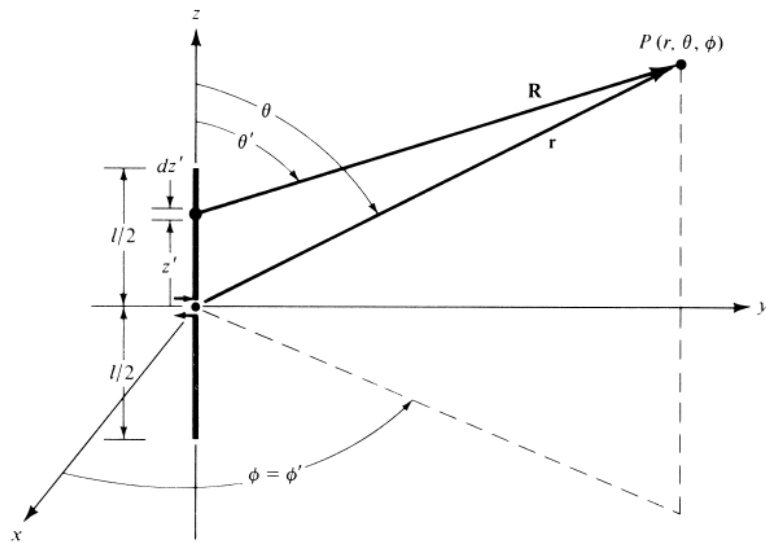
จากขั้นตอนในหัวข้อที่แล้ว ศักย์เวกเตอร์ของสมการที่ (4.2) สามารถแทนด้วยการกระจายกระแสในสมการ (4.31) จะได้

$$\mathbf{A}(x, y, z) = \frac{\mu}{4\pi} \left[ \hat{\mathbf{a}}_z \int_{-l/2}^0 I_0 \left(1 + \frac{2}{l} z'\right) \frac{e^{-jkR}}{R} dz' + \hat{\mathbf{a}}_z \int_0^{l/2} I_0 \left(1 - \frac{2}{l} z'\right) \frac{e^{-jkR}}{R} dz' \right] \quad (4.32)$$

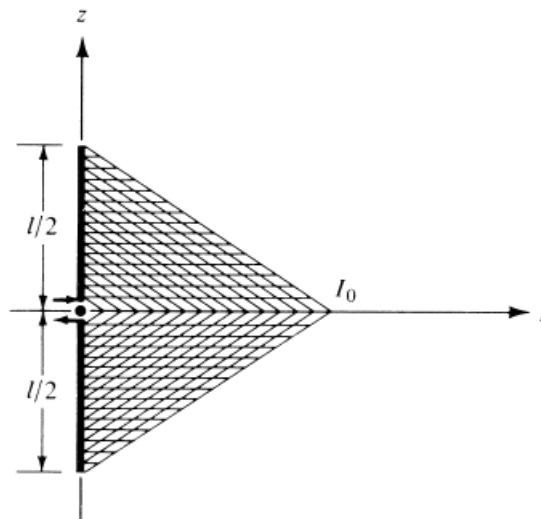
เนื่องจากความยาวของไดโพลมีขนาดเล็ก ( $l \leq \lambda / 10$ ) ดังนั้นจึงประมาณให้  $R \simeq r$  ทำให้การอินทิเกรตสมการ (4.32) ลดลงเหลือเป็น

$$\mathbf{A} = \hat{\mathbf{a}}_z A_z = \hat{\mathbf{a}}_z \frac{1}{2} \left[ \frac{\mu I_0 l e^{-jkr}}{4\pi r} \right] \quad (4.33)$$

จากสมการของศักย์เวกเตอร์ในสมการ (4.33) จะเห็นได้ว่า มีค่าเป็นครึ่งหนึ่งของสมการของไดโพลจิ๋วในสมการ (4.4)



(ก)



(ข)

รูปที่ 4.4 การวาดวงไดโพลและการกระจายกระแสของไดโพลเล็ก

ฟังก์ชันศักย์ในสมการที่ (4.33) เกิดจากการประมาณค่าและจะถูกต้องมากขึ้นเมื่อ  $kr \rightarrow \infty$  ซึ่งเป็นบริเวณของสนามระยะไกล เนื่องจากฟังก์ชันศักย์ที่มีการกระจายกระแสเป็นรูปสามเหลี่ยมจะมีค่าเป็นครึ่งหนึ่งของการกระจายกระแสที่เป็นค่าคงที่ ดังนั้นจะสามารถเขียนสนาม  $\mathbf{E}$  และ  $\mathbf{H}$  มีค่าเป็นครึ่งหนึ่งด้วย นั่นคือ

$$\left. \begin{aligned} E_\theta &\simeq j\eta \frac{kI_0 l e^{-jkr}}{8\pi r} \sin \theta \\ E_r = E_\phi = H_r = H_\theta &= 0 \\ H_\phi &\simeq j \frac{kI_0 l e^{-jkr}}{8\pi r} \sin \theta \end{aligned} \right\} kr \gg 1 \quad (4.34)$$

โดยที่ค่าอิมพีแดนซ์ของคลื่นมีค่าเท่ากับไดโพลจิวในสมการ (4.25) แต่เนื่องจากสภาพเจาะจงทิศทางของสายอากาศขึ้นอยู่กับรูปแบบของสนามหรือแบบรูปกำลัง ดังนั้นสภาพเจาะจงทิศทางและพื้นที่ประสิทธิภาพสูงสุดของไดโพลเล็กนี้จึงเหมือนกับไดโพลจิวที่มีการกระจายกระแสแบบคงที่ดังแสดงในสมการที่ (4.29) และ (4.30)

ความต้านทานการแผ่พลังงานของสายอากาศขึ้นอยู่กับ การกระจายของกระแสโดยตรง ซึ่งมีขั้นตอนการหาเหมือนไดโพลจิว โดยพบว่ากรณีของไดโพลเล็ก กำลังการแผ่พลังงานมีค่าเป็น  $1/4$  เท่าของสมการที่ (4.18) ดังนั้นความต้านทานการแผ่พลังงานมีค่าเท่ากับ

$$R_r = \frac{2P_{rad}}{|I_0|^2} = 20\pi^2 \left( \frac{l}{\lambda} \right)^2 \quad (4.35)$$

โดยความต้านทานการแผ่พลังงานของไดโพลเล็กมีค่าเป็น  $1/4$  ของไดโพลจิว และมีแบบรูปการแผ่พลังงานเหมือนกับไดโพลจิวดังแสดงในรูปที่ 4.3

#### 4.4 ไดโพลความยาวจำกัด

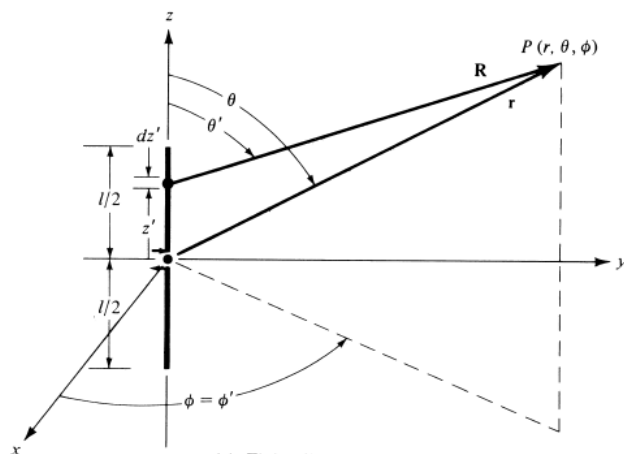
สำหรับกรณีไดโพลที่มีความยาวจำกัดค่าหนึ่ง เพื่อที่จะลดความยุ่งยากของสมการคณิตศาสตร์ จะสมมติให้เส้นลวดบางมาก ๆ หรือมีขนาดเล็กมาก ๆ เมื่อเทียบกับความยาวคลื่น

##### 4.4.1 การกระจายกระแสไดโพลความยาวจำกัด

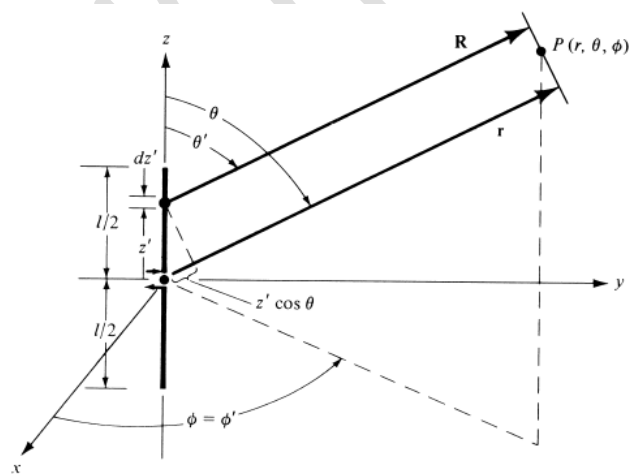
สำหรับไดโพลที่มีขนาดบางมาก ๆ ในทางอุดมคติคือมีขนาดเส้นผ่าศูนย์กลางเป็นศูนย์ ซึ่งการกระจายของกระแสสามารถประมาณได้คือ



$$\mathbf{I}_e(x' = 0, y' = 0, z') = \begin{cases} \hat{\mathbf{a}}_z I_0 \sin \left[ k \left( \frac{l}{2} - z' \right) \right], & 0 \leq z' \leq l/2 \\ \hat{\mathbf{a}}_z I_0 \sin \left[ k \left( \frac{l}{2} + z' \right) \right], & -l/2 \leq z' \leq 0 \end{cases} \quad (4.36)$$



(ก)



(ข)

รูปที่ 4.5 การจัดวางของไดโพลขนาดจำกัดและการประมาณที่บริเวณสนามระยะไกล

โดยการประมาณกระแสในสมการ (4.36) ได้มาจากการทดลอง และได้ถูกยืนยันแล้วว่ากระแสของสายอากาศเส้นลวดที่มีการป้อนสัญญาณที่ตรงกลางจะเป็นรูปไซน์ซอซด์และมีค่าเป็นศูนย์ที่ปลายของเส้นลวด ซึ่งการจัดวางของสายอากาศแสดงดังรูปที่ 4.5

#### 4.4.2 สนามการแผ่พลังงาน : แพลเตอร์องค์ประกอบ แพลเตอร์สเปซ และตัวคูณรูปแบบ

สำหรับกรณีไดโพลจั่วที่มีความยาว  $dz'$  วางบนแกน  $z$  ณ ตำแหน่ง  $z'$  สนามไฟฟ้าและสนามแม่เหล็กในบริเวณสนามระยะไกลสามารถเขียนโดยใช้สมการ (2.24) ได้คือ

$$dE_\theta \simeq j\eta \frac{kI_e(x', y', z')e^{-jkR}}{4\pi R} \sin \theta dz' \quad (4.37ก)$$

$$dE_r = dE_\phi = dH_r = dH_\theta = 0 \quad (4.37ข)$$

$$dH_\phi \simeq j \frac{kI_e(x', y', z')e^{-jkR}}{4\pi R} \sin \theta dz' \quad (4.37ค)$$

โดยที่

$$R = \sqrt{(x - x')^2 + (y - y')^2 + (z - z')^2} = \sqrt{x^2 + y^2 + (z - z')^2} \quad (4.38)$$

ซึ่งสามารถกระจายได้เป็น

$$R = \sqrt{(x + y + z)^2 + (-2zz' + z')^2} = \sqrt{r^2 + (-2rz' \cos \theta + z'^2)} \quad (4.39)$$

เมื่อ  $r = x^2 + y^2 + z^2$  และ  $z = r \cos \theta$

สำหรับที่บริเวณสนามระยะไกล จะประมาณ  $R$  ได้คือ

$$R \simeq r - z' \cos \theta \quad \text{สำหรับเทอมของเฟส} \quad (4.40ก)$$

$$R \simeq r \quad \text{สำหรับเทอมของขนาด} \quad (4.40ข)$$

ดังนั้นเมื่อใช้การประมาณที่บริเวณสนามระยะไกล สนามไฟฟ้าสามารถแสดงได้คือ

$$dE_\theta \simeq j\eta \frac{kI_e(x', y', z')e^{-jkr}}{4\pi r} \sin \theta e^{+jkz' \cos \theta} dz' \quad (4.41)$$

เมื่อทำการอินทิเกรตองค์ประกอบไดโพลจิ๋วตลอดความยาวของไดโพลจะได้

$$E_\theta = \int_{-l/2}^{l/2} dE_\theta = j\eta \frac{ke^{-jkr}}{4\pi r} \sin \theta \left[ \int_{-l/2}^{l/2} I_e(x', y', z')e^{+jkz' \cos \theta} dz' \right] \quad (4.42)$$

จากสมการ (4.42) ตัวประกอบที่อยู่นอกวงเล็บ [ ] ถูกเรียกว่า แฟคเตอร์ตัวประกอบ (Element factor) และที่อยู่ภายในวงเล็บจะเรียกว่า แฟคเตอร์สเปซ (Space factor) สำหรับสายอากาศใด ๆ แฟคเตอร์องค์ประกอบจะมีค่าเท่ากับสนามของไดโพลจิ๋วที่มีความยาวหนึ่งหน่วยวางที่ตำแหน่งจุดอ้างอิง (จุดกำเนิด) โดยทั่วไปแฟคเตอร์องค์ประกอบจะขึ้นกับชนิดของกระแสและทิศทางการไหลของกระแส ในขณะที่แฟคเตอร์สเปซ เป็นฟังก์ชันของการกระจายของกระแสตามแหล่งกำเนิด

ซึ่งสนามรวมของสายอากาศมีค่าเท่ากับผลคูณของแฟคเตอร์องค์ประกอบกับแฟคเตอร์สเปซ ซึ่งจะเรียกว่า ผลคูณแบบรูป (Pattern multiplication) สำหรับแหล่งกำเนิดที่มีการกระจายอย่างต่อเนื่องและสามารถเขียนได้เป็น

$$\text{สนามรวม} = (\text{แฟคเตอร์ตัวประกอบ}) \times (\text{แฟคเตอร์สเปซ}) \quad (4.43)$$

เมื่อทำการแทนการกระจายของกระแสตามสมการ (4.36) ลงในสมการ (4.42) จะได้

$$E_\theta \simeq j\eta \frac{kI_0 e^{-jkr}}{4\pi r} \sin \theta \left\{ \int_{-l/2}^0 \sin \left[ k \left( \frac{l}{2} + z' \right) \right] e^{+jkz' \cos \theta} dz' \right. \\ \left. + \int_0^{l/2} \sin \left[ k \left( \frac{l}{2} - z' \right) \right] e^{+jkz' \cos \theta} dz' \right\} \quad (4.44)$$

โดยเมื่อทำการอินทิเกรตสมการ (4.44) จะได้

$$E_\theta \simeq j\eta \frac{I_0 e^{-jkr}}{2\pi r} \left[ \frac{\cos\left(\frac{kl}{2} \cos \theta\right) - \cos\left(\frac{kl}{2}\right)}{\sin \theta} \right] \quad (4.45)$$

เมื่อทราบสนามไฟฟ้า  $E_\theta$  จะสามารถหาสนามแม่เหล็ก  $H_\phi$  โดยใช้ความสัมพันธ์ที่บริเวณสนามระยะไกล ซึ่งสามารถหาได้คือ

$$H_\phi \simeq \frac{E_\theta}{\eta} \simeq j \frac{I_0 e^{-jkr}}{2\pi r} \left[ \frac{\cos\left(\frac{kl}{2} \cos \theta\right) - \cos\left(\frac{kl}{2}\right)}{\sin \theta} \right] \quad (4.46)$$

#### 4.4.3 ความหนาแน่นกำลัง ความเข้มการแผ่พลังงาน และความต้านทานการแผ่พลังงาน

ความหนาแน่นกำลังงานเฉลี่ยสามารถหาได้จากพอยน์ติงเวกเตอร์ดังแสดงในสมการคือ

$$\begin{aligned} \mathbf{W}_{av} &= \frac{1}{2} \text{Re} [\mathbf{E} \times \mathbf{H}^*] = \frac{1}{2} \text{Re} [(\hat{\mathbf{a}}_\theta E_\theta + \hat{\mathbf{a}}_\phi E_\phi) \times (\hat{\mathbf{a}}_\theta H_\theta^* + \hat{\mathbf{a}}_\phi H_\phi^*)] \\ &= \frac{1}{2} \text{Re} \left[ \hat{\mathbf{a}}_\theta E_\theta + \hat{\mathbf{a}}_\phi \frac{E_\theta^*}{\eta} \right] \end{aligned} \quad (4.47)$$

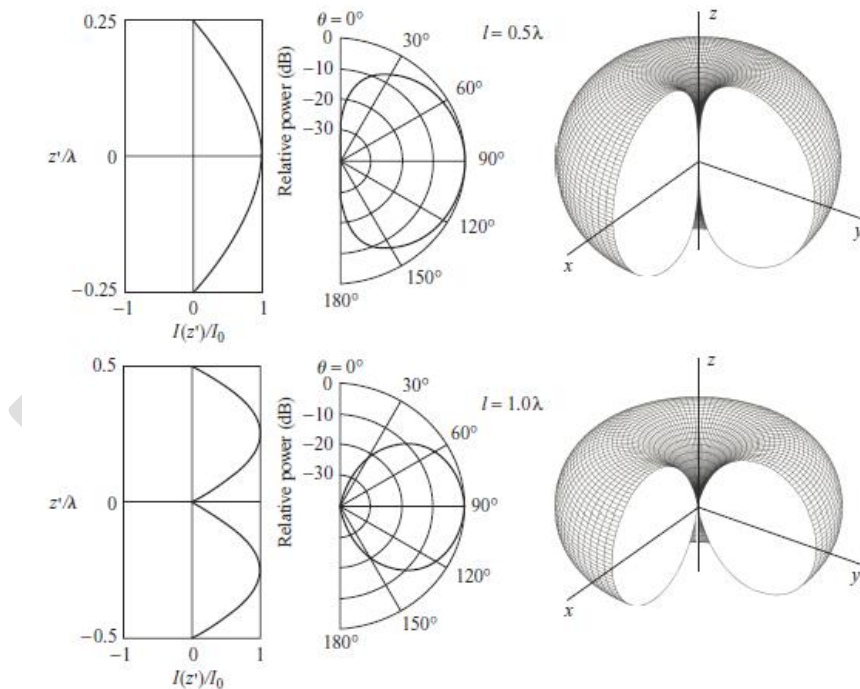
ดังนั้นความหนาแน่นกำลังงานเฉลี่ยสำหรับสายอากาศไดโพลความยาวจำกัดคือ

$$\mathbf{W}_{av} = \hat{\mathbf{a}}_r W_{av} = \hat{\mathbf{a}}_r \frac{1}{2\eta} |E_\theta|^2 = \hat{\mathbf{a}}_r \eta \frac{|I_0|^2}{8\pi^2 r^2} \left[ \frac{\cos\left(\frac{kl}{2} \cos \theta\right) - \cos\left(\frac{kl}{2}\right)}{\sin \theta} \right]^2 \quad (4.48)$$

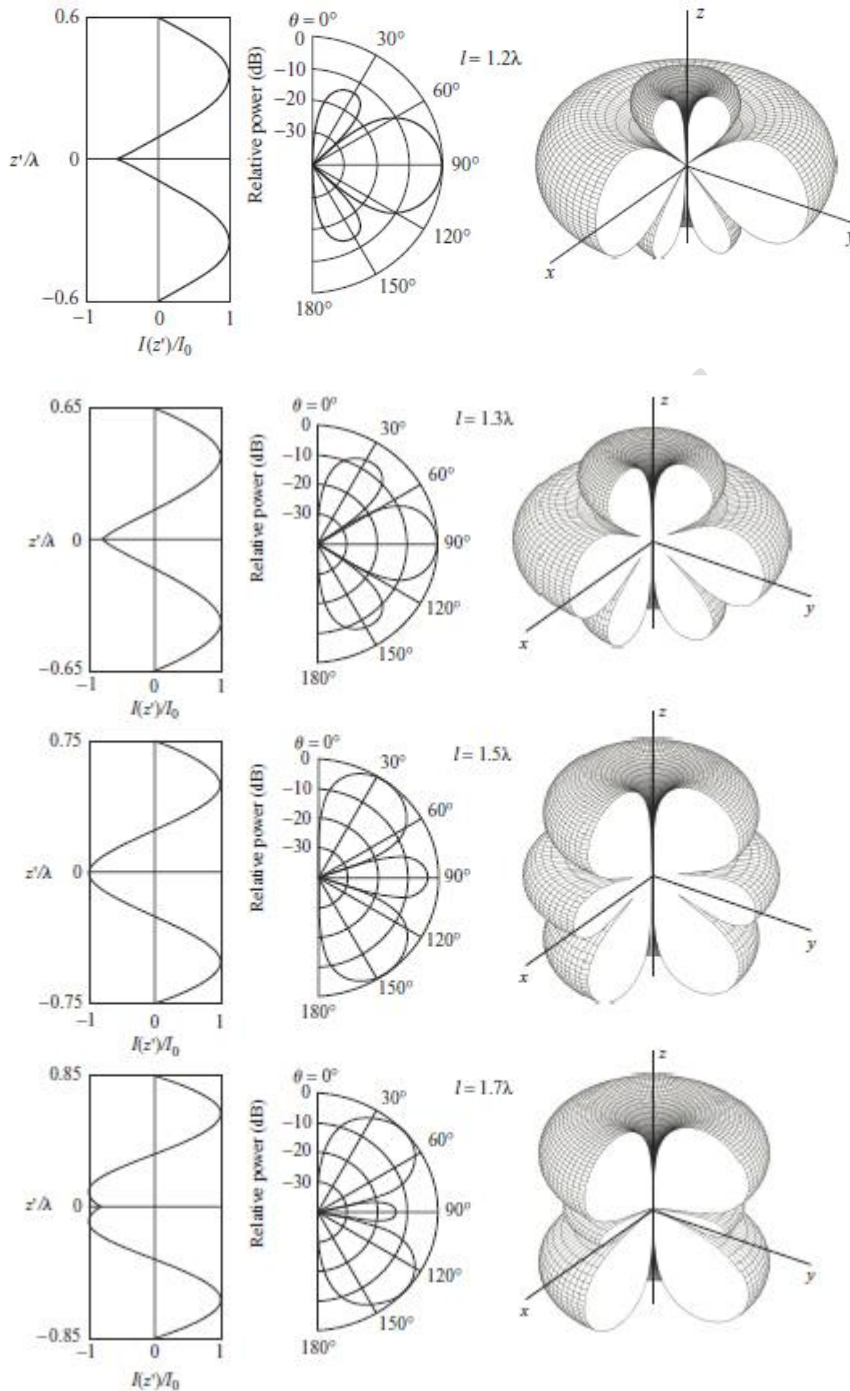
และความเข้มการแผ่พลังงานคือ

$$U = r^2 W_{av} = \eta \frac{|I_0|^2}{8\pi^2} \left[ \frac{\cos\left(\frac{kl}{2} \cos \theta\right) - \cos\left(\frac{kl}{2}\right)}{\sin \theta} \right]^2 \quad (4.49)$$

รูปที่ 4.6 แสดงการกระจายของกระแสและแบบรูปการแผ่พลังงานของไดโพลที่มีความยาวต่าง ๆ ซึ่งจะเห็นได้ว่าเมื่อไดโพลมีความยาวเพิ่มขึ้นจาก  $0.5\lambda$  ถึง  $1.2\lambda$  ลำคลื่นหลักจะแคบลง เพราะสภาพจะเจจทิศทางเพิ่มขึ้นตามความยาว อย่างไรก็ตามเมื่อความยาวไดโพลเริ่มมากขึ้น เช่น ที่ความยาว  $1.5\lambda$  ลำคลื่นหลักมีการแบ่งออกเป็นสองลำคลื่น และแบบรูปไม่ได้มีค่าสูงสุดที่มุม  $\theta = 90^\circ$



รูปที่ 4.6 การกระจายของกระแสและแบบรูปการแผ่พลังงานของไดโพลที่มีความยาวต่าง ๆ  
( $l = 0.5\lambda, 1.0\lambda, 1.2\lambda, 1.3\lambda, 1.5\lambda$  และ  $1.7\lambda$ )



รูปที่ 4.6 การกระจายของกระแสและแบบรูปการแผ่พลังงานของไดโพลที่มีความยาวต่าง ๆ  
 $(l = 0.5\lambda, 1.0\lambda, 1.2\lambda, 1.3\lambda, 1.5\lambda$  และ  $1.7\lambda)$  (ต่อ)

กำลังการแผ่พลังงานสามารถหาได้คือ

$$P_{rad} = \int_0^{2\pi} \int_0^\pi W_{av} r^2 \sin^2 \theta d\theta d\phi$$

$$= \eta \frac{|I_0|^2}{4\pi} \int_0^\pi \left[ \frac{\cos\left(\frac{kl}{2} \cos \theta\right) - \cos\left(\frac{kl}{2}\right)}{\sin \theta} \right]^2 d\theta$$
(4.50)

ซึ่งผลเฉลยของการอินทิเกรตสมการ (4.50) โดยใช้วิธีการทางคณิตศาสตร์ที่เหมาะสม จะได้กำลังการแผ่พลังงานของไดโพลความยาวจำกัดคือ

$$P_{rad} = \eta \frac{|I_0|^2}{4\pi} \left\{ C + \ln(kl) - C_i(kl) + \frac{1}{2} \sin(kl) [S_i(2kl) - 2S_i(kl)] \right.$$

$$\left. + \frac{1}{2} \cos(kl) [C + \ln(kl/2) + C_i(2kl) - 2C_i(kl)] \right\}$$
(4.51)

โดยที่  $C = 0.5772$  คือ ค่าคงที่ของออยเลอร์,  $C_i(x)$  และ  $S_i(x)$  คือ ค่าการอินทิเกรตโคไซน์และไซน์ ซึ่งสามารถหาค่าได้ในภาคผนวก ดังนั้นเมื่อรู้กำลังการแผ่พลังงานจะสามารถหาความต้านทานการแผ่พลังงานได้คือ

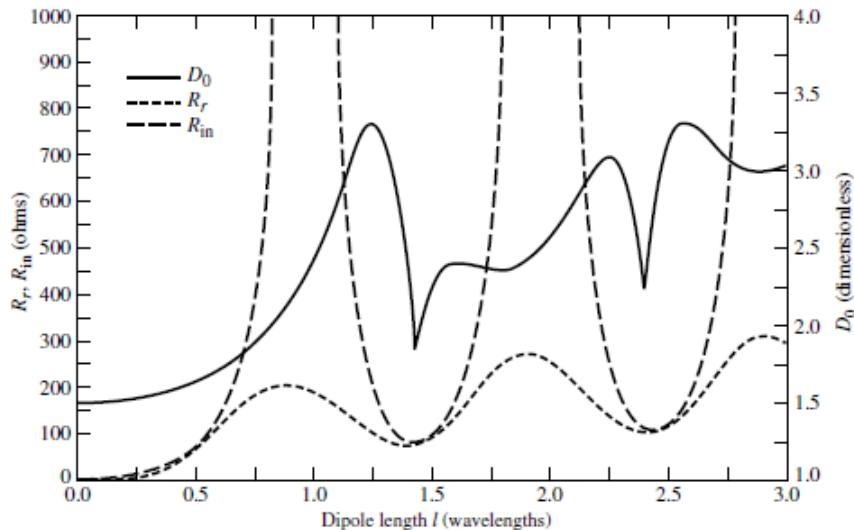
$$R_r = \frac{2P_{rad}}{|I_0|^2} = \frac{\eta}{2\pi} \left\{ C + \ln(kl) - C_i(kl) + \frac{1}{2} \sin(kl) [S_i(2kl) - 2S_i(kl)] \right.$$

$$\left. + \frac{1}{2} \cos(kl) [C + \ln(kl/2) + C_i(2kl) - 2C_i(kl)] \right\}$$
(4.52)

และจำนวนจินตภาพของอิมพีแดนซ์สำหรับไดโพลความยาวจำกัดจากหนังสือของ Balanis สามารถแสดงได้คือ

$$X_m = \frac{\eta}{4\pi} \left[ 2S_i(kl) + \cos(kl) \left[ 2S_i(kl) - S_i(2kl) \right] - \sin(kl) \left[ 2C_i(kl) - C_i(2kl) - C_i\left(\frac{2ka^2}{l}\right) \right] \right] \quad (4.53)$$

รูปที่ 4.7 แสดงความสัมพันธ์ของความต้านทานการแผ่พลังงาน ( $R_r$ ) ความต้านทานอินพุต ( $R_{in}$ ) และสภาพเจาะจงทิศทางสูงสุด ( $D_0$ ) ที่เป็นฟังก์ชันของความยาว  $l$  (ในหน่วยความยาวคลื่น)



รูปที่ 4.7 ความต้านทานการแผ่พลังงาน ความต้านทานอินพุต และสภาพเจาะจงทิศทางของไดโพลที่มีการกระจายกระแสแบบไซน์ซอว์

#### 4.4.4 สภาพเจาะจงทิศทาง

จากแบบรูปการแผ่พลังงานของไดโพลในรูปที่ 4.6 จะเห็นได้ว่าสภาพเจาะจงทิศทางของไดโพลจะมีค่ามากขึ้นเมื่อความยาวของไดโพลเพิ่มขึ้น อย่างไรก็ตามเมื่อความยาวของไดโพลมากกว่าหนึ่งความยาวคลื่น จำนวนของโลบจะเพิ่มขึ้นทำให้สายอากาศสูญเสียการมีทิศทางไป โดยสภาพเจาะจงทิศทางของสายอากาศสามารถคำนวณหาได้คือ



$$D_0 = 4\pi \frac{F(\theta, \phi)|_{\max}}{\int_0^{2\pi} \int_0^\pi F(\theta, \phi) \sin \theta d\theta d\phi} \quad (4.54)$$

เมื่อ  $F(\theta, \phi)$  สัมพันธ์กับความเข้มการแผ่พลังงาน  $U$  คือ

$$U = B_0 F(\theta, \phi) \quad (4.55)$$

ดังนั้นจากความเข้มการแผ่พลังงานของไดโพลความยาว  $l$  ในสมการ (4.49) จะได้

$$F(\theta, \phi) = F(\theta) = \left[ \frac{\cos\left(\frac{kl}{2} \cos \theta\right) - \cos\left(\frac{kl}{2}\right)}{\sin \theta} \right]^2 \quad (4.56ก)$$

และ

$$B_0 = \eta \frac{|I_0|^2}{8\pi^2} \quad (4.56ข)$$

เนื่องจากแบบรูปการแผ่พลังงานไม่ได้เป็นฟังก์ชันของ  $\phi$  ดังนั้นสภาพเจาะจงทิศทางในสมการ (4.54) จะลดเหลือเพียง

$$D_0 = \frac{2F(\theta)|_{\max}}{\int_0^\pi F(\theta) \sin \theta d\theta} \quad (4.57)$$

เมื่อแทนสมการ (4.56ก) ลงในสมการ (4.57) จะสามารถคำนวณหาสภาพเจาะจงทิศทางได้คือ

$$D_0 = \frac{2 F(\theta)|_{\max}}{Q} \quad (4.58)$$

เมื่อ

$$Q = \left\{ C + \ln(kl) - C_i(kl) + \frac{1}{2} \sin(kl) [S_i(2kl) - 2S_i(kl)] + \frac{1}{2} \cos(kl) [C + \ln(kl/2) + C_i(2kl) - 2C_i(kl)] \right\} \quad (4.59)$$

ค่าสภาพเจาะจงทิศทางจากสมการที่ (4.58) และ (4.59) ใช้สำหรับไดโพลที่มีความยาว  $0 < l \leq 3\lambda$  และแสดงดังรูปที่ 4.7 นอกจากนี้ค่าพื้นที่ประสิทธิภาพสูงสุดสัมพันธ์กับสภาพเจาะจงทิศทางคือ

$$A_{em} = \frac{\lambda^2}{4\pi} D_0 \quad (4.60)$$

#### 4.4.5 ความต้านทานอินพุท

อิมพีแดนซ์อินพุท (Input impedance) ถูกนิยามว่า “อัตราส่วนแรงดันต่อกระแสที่ขั้วต่อหรืออัตราส่วนขององค์ประกอบสนามไฟฟ้าต่อสนามแม่เหล็กที่จุดๆ หนึ่ง” โดยส่วนของจำนวนจริงของอิมพีแดนซ์อินพุทถูกนิยามด้วยความต้านทานอินพุท ซึ่งกรณีสายอากาศไม่มีการสูญเสียความต้านทานอินพุทจะเหลือเพียงความต้านทานการแผ่พลังงาน และผลลัพธ์ของการแผ่พลังงานจะเป็นกำลังงานจริง

จากนิยามของความต้านทานการแผ่พลังงานจะอ้างอิงถึงกระแสสูงสุด ซึ่งแต่ละความยาวของสายอากาศจะไม่ได้เกิดที่จุดต่อที่ขั้วอินพุทของสายอากาศดังแสดงในรูปที่ 4.8 สมมติว่าความต้านทานการสูญเสียของสายอากาศมีค่าเท่ากับศูนย์ ดังนั้นกำลังที่จุดต่ออินพุทจะมีค่าเท่ากับกำลังที่กระแสสูงสุด ดังนั้นสามารถเขียนแสดงความสัมพันธ์ระหว่างกำลังงานอินพุทและกำลังงานจริงที่กระแสสูงสุดได้คือ

$$\frac{|I_m|^2}{2} R_m = \frac{|I_0|^2}{2} R_r \quad (4.61)$$

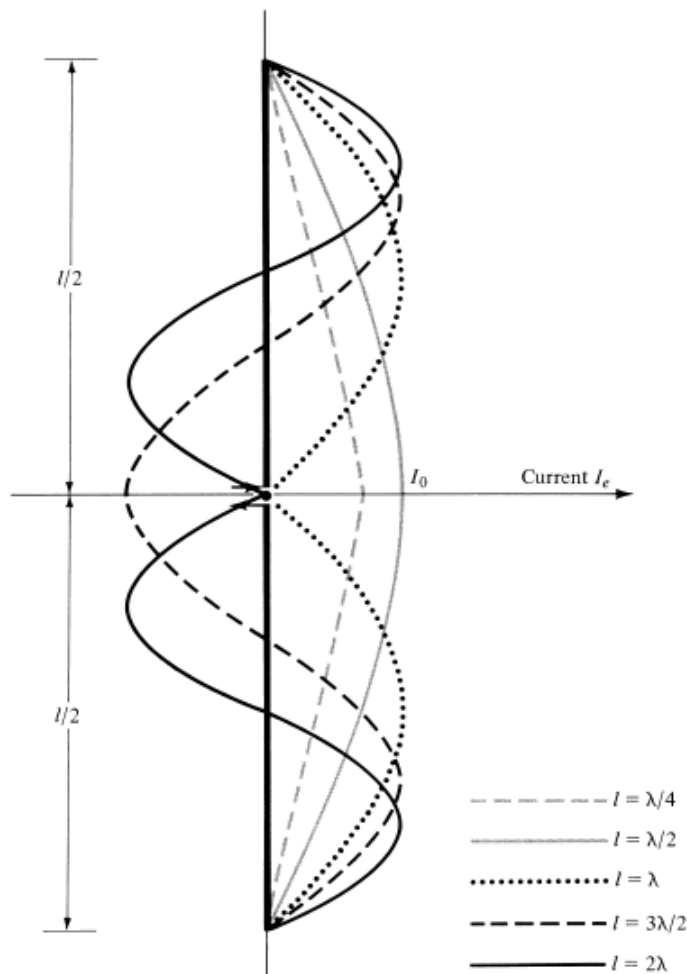
หรือ

$$R_m = \left[ \frac{I_0}{I_m} \right]^2 R_r \quad (4.62)$$

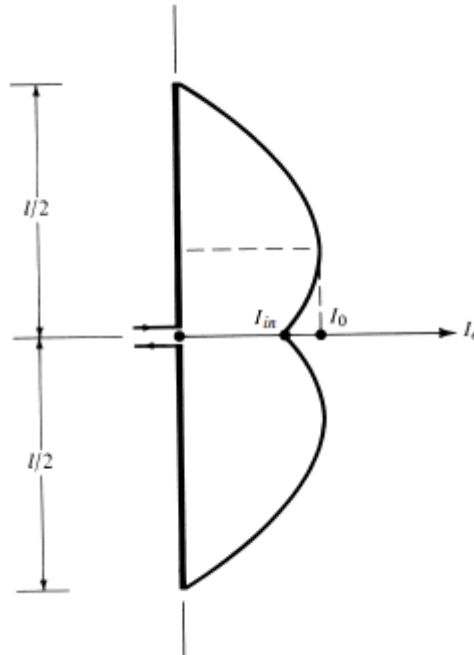
- เมื่อ  $R_{in}$  คือ ความต้านทานที่จุดต่ออินพุท (ป้อน)  
 $R_r$  คือ ความต้านทานการแผ่พลังงานที่กระแสวิ่งสูงสุด  
 $I_0$  คือ กระแสสูงสุด  
 $I_{in}$  คือ กระแสที่จุดต่ออินพุท

สำหรับไดโพลที่มีความยาว  $l$  กระแสที่อินพุทจะสัมพันธ์กับกระแสวิ่งสูงสุดจากรูปที่ 4.9 คือ

$$I_{in} = I_0 \sin\left(\frac{kl}{2}\right) \quad (4.63)$$



รูปที่ 4.8 การกระจายของกระแสบนเส้นลวดที่มีความยาวต่าง ๆ



รูปที่ 4.9 การกระจายกระแสของสายอากาศไดโพลเส้นตรงเมื่อกระแสสูงสุดไม่ได้เกิดที่จุดต่ออินพุต

ดังนั้นความต้านทานอินพุตในสมการ (4.63) สามารถเขียนได้ดังนี้

$$R_{in} = \frac{R_r}{\sin^2 \left( \frac{kl}{2} \right)} \quad (4.64)$$

#### 4.5 ไดโพลครึ่งความยาวคลื่น

สายอากาศไดโพลครึ่งความยาวคลื่น (Half-wavelength dipole) ได้ถูกนำมาใช้งานอย่างกว้างขวาง ทั้งนี้เนื่องจากความต้านทานการแผ่พลังงานของไดโพลครึ่งความยาวคลื่นมีค่าเท่ากับ 73 โอห์ม ซึ่งมีค่าใกล้เคียงกับค่าอิมพีแดนซ์คุณลักษณะของสายนำสัญญาณที่นิยมใช้คือ 50 โอห์ม หรือ 75 โอห์ม ดังนั้นเมื่อนำมาต่อรวมกันจะทำให้แมตชิ่งได้โดยเฉพาะที่ความถี่เรโซแนนซ์

ซึ่งองค์ประกอบสนามไฟฟ้าและสนามแม่เหล็กของไดโพลครึ่งความยาวคลื่นสามารถหาได้จากสมการที่ (4.45) และสมการที่ (4.46) โดยให้  $l = \lambda / 2$  จะได้

$$E_\theta \simeq j\eta \frac{I_0 e^{-jkr}}{2\pi r} \left[ \frac{\cos\left(\frac{\pi}{2} \cos \theta\right)}{\sin \theta} \right] \quad (4.65)$$

$$H_\phi \simeq j \frac{I_0 e^{-jkr}}{2\pi r} \left[ \frac{\cos\left(\frac{\pi}{2} \cos \theta\right)}{\sin \theta} \right] \quad (4.66)$$

ในทำนองเดียวกันกับหัวข้อที่ผ่านมา เมื่อทราบสนามไฟฟ้าและสนามแม่เหล็กจะสามารถหาความหนาแน่นกำลังเฉลี่ยและความเข้มการแผ่พลังงานได้คือ

$$W_{av} = \eta \frac{|I_0|^2}{8\pi^2 r^2} \left[ \frac{\cos\left(\frac{\pi}{2} \cos \theta\right)}{\sin \theta} \right]^2 \simeq \eta \frac{|I_0|^2}{8\pi^2 r^2} \sin^3 \theta \quad (4.67)$$

และ

$$U = r^2 W_{av} = \eta \frac{|I_0|^2}{8\pi^2} \left[ \frac{\cos\left(\frac{\pi}{2} \cos \theta\right)}{\sin \theta} \right]^2 \simeq \eta \frac{|I_0|^2}{8\pi^2} \sin^3 \theta \quad (4.68)$$

สำหรับกำลังการแผ่พลังงานสามารถหาได้คือ

$$P_{rad} = \eta \frac{|I_0|^2}{4\pi} \int_0^\pi \frac{\cos^2\left(\frac{\pi}{2} \cos \theta\right)}{\sin \theta} d\theta \quad (4.69)$$

ซึ่งผลเฉลยของการอินทิเกรตโดยการใช้วิธีการทางคณิตศาสตร์จะได้

$$P_{rad} = \eta \frac{|I_0|^2}{8\pi} C_{in}(2\pi) \quad (4.70)$$

โดยที่

$$C_{in}(2\pi) = 0.5772 + \ln(2\pi) - C_i(2\pi) = 0.5772 + 1.838 - (-0.02) \simeq 2.435 \quad (4.71)$$

ดังนั้นสามารถหาสภาพเจาะจงทิศทางสูงสุดของสายอากาศไดโพลครึ่งความยาวคลื่นได้คือ

$$D_0 = 4\pi \frac{U_{\max}}{P_{rad}} = 4\pi \frac{U|_{\theta=\pi/2}}{P_{rad}} = \frac{4}{C_{in}(2\pi)} = \frac{4}{2.435} \simeq 1.643 \quad (4.72)$$

และพื้นที่ประสิทธิภาพมีค่าเท่ากับ

$$A_{em} = \frac{\lambda^2}{4\pi} D_0 = \frac{\lambda^2}{4\pi} (1.643) \simeq 0.13\lambda^2 \quad (4.73)$$

และความต้านทานการแผ่พลังงาน สำหรับตัวกลางที่เป็นอวกาศว่าง คือ

$$R_r = \frac{2P_{rad}}{|I_0|^2} = \frac{\eta}{4\pi} C_{in}(2\pi) = 30(2.435) \simeq 73 \quad (4.74)$$

ความต้านทานการแผ่พลังงานในสมการที่ (4.74) คือ ความต้านทานการแผ่พลังงานที่จุดต่ออินพุตด้วย (ความต้านทานที่อินพุต) เนื่องจากกระแสสูงสุดสำหรับไดโพลที่มีความยาว  $l = \lambda / 2$  จะเกิดที่จุดต่ออินพุต สำหรับส่วนจินตภาพของสายอากาศจะสัมพันธ์กับค่าอินพุตอิมพีแดนซ์ของไดโพลซึ่งเป็นฟังก์ชันของความยาว สำหรับ  $l = \lambda / 2$  จะมีค่าส่วนจินตภาพเท่ากับ  $j42.5$  ดังนั้นอิมพีแดนซ์รวมของสายอากาศไดโพลครึ่งความยาวคลื่นมีค่าเท่ากับ

$$Z_{in} = 73 + j42.5 \quad (4.75)$$

โดยการลดส่วนจินตภาพของอิมพีแดนซ์อินพุตให้มีค่าเป็นศูนย์ สามารถทำได้โดยการแมตช์สายอากาศหรือลดความยาวของสายอากาศลงจนค่าของจำนวนจินตภาพหายไป

**ตัวอย่างที่ 4.2** สายอากาศไดโพลความยาว 6 ซม. วางบนแกน  $z$  มีกระแสไหล 1 แอมแปร์ ทำงานที่ความถี่ 2.4 GHz จงคำนวณหาความเข้มสนามไฟฟ้าและสนามแม่เหล็กที่ระยะ 50 ซม.  $\theta = 60^\circ$

**วิธีทำ**

$$\lambda = \frac{c}{f} = \frac{3 \times 10^8}{2.4 \times 10^9} = 0.125 \text{ m}$$

$$\frac{kl}{2} = \frac{2\pi}{2\lambda} l = \frac{\pi \times 6 \times 10^{-2}}{0.125} = 0.48\pi$$

$$kr = \frac{2\pi}{\lambda} r = \frac{2\pi \times 50 \times 10^{-2}}{0.125} = 8\pi$$

จากสนามไฟฟ้าของไดโพลความยาวจำกัดในสมการ (3.45) คือ

$$E_\theta \simeq j\eta \frac{I_0 e^{-jkr}}{2\pi r} \left[ \frac{\cos\left(\frac{kl}{2} \cos\theta\right) - \cos\left(\frac{kl}{2}\right)}{\sin\theta} \right]$$

แทนค่ากระแสเท่ากับ 1 แอมแปร์ ที่ระยะ 50 ซม. และมุม  $\theta = 60^\circ$  เข้าไปในสมการจะได้

$$E_\theta = j120\pi \frac{1e^{-j8\pi}}{2\pi(50 \times 10^{-2})} \left[ \frac{\cos\left(0.48\pi \cos \frac{\pi}{3}\right) - \cos 0.48\pi}{\sin \frac{\pi}{3}} \right]$$

ดังนั้น

$$E_\theta = j92.3e^{-j8\pi} = j92.3 \text{ V}$$

สำหรับสนามแม่เหล็กในย่านสนามระยะไกลจะมีความสัมพันธ์กับสนามไฟฟ้าคือ

$$\mathbf{H} = \frac{1}{\eta} \mathbf{a}_r \times \mathbf{E} = \mathbf{a}_\phi \frac{1}{\eta} E_\theta$$

ดังนั้น

$$H_\phi = \frac{1}{\eta} E_\theta = \frac{j92.3}{120\pi} = j0.2448 \text{ A/m}$$

**ตัวอย่างที่ 4.3** สายอากาศไดโพลความยาว  $\lambda/2$  มีความต้านทานการสูญเสียเท่ากับ  $1 \Omega$  ทำงานที่

ความถี่ 145 MHz จงคำนวณหา

(ก) พื้นที่ประสิทธิภาพสูงสุดของสายอากาศ

(ข) ถ้าต้องการให้สายอากาศเกิดเรโซแนนซ์ที่ความถี่ 145 MHz ควรจะต้องใส่ตัวเก็บประจุหรือตัวเหนี่ยวนำเข้าไปขนาน และมีค่าเท่ากับเท่าใด

**วิธีทำ**

(ก) หาพื้นที่ประสิทธิภาพสูงสุดของสายอากาศได้จาก

$$A_{em} \simeq 0.13\lambda^2 \text{ เมื่อ } \lambda = \frac{3 \times 10^8}{145 \times 10^6} = 2.07$$

ดังนั้นจะได้  $A_{em} \simeq 0.13(2.07)^2 = 0.557$



(ข) เนื่องจากสายอากาศไดโพลความยาว  $\lambda/2$  มี  $R_r = 73 \, \Omega$   $jX_A = j42.5 \, \Omega$  และ  $R_L = 1 \, \Omega$  ดังนั้น

$$Z_A = R_r + R_L + jX_A = 74 + j42.5 \, \Omega$$

สำหรับกรณีต่อขนานเพื่อให้เกิดเรโซแนนซ์ เพื่อให้ง่ายจะแสดงอิมพีแดนซ์ของสายอากาศอยู่ในรูปของ แอดมิตแตนซ์คือ

$$Y_A = \frac{1}{Z_A} = \frac{1}{74 + j42.5} = 0.0102 - j0.0058 \, \Omega$$

ที่จุดเรโซแนนซ์ จำเป็นต้องเลือกตัวเก็บประจุมาต่อแบบขนานกับสายอากาศเพื่อกำจัดส่วนจินตภาพของแอดมิตแตนซ์ของสายอากาศคือ

$$Y_A = 0.0102 - j0.0058 + jB$$

เมื่อ

$$jB = j0.0058$$

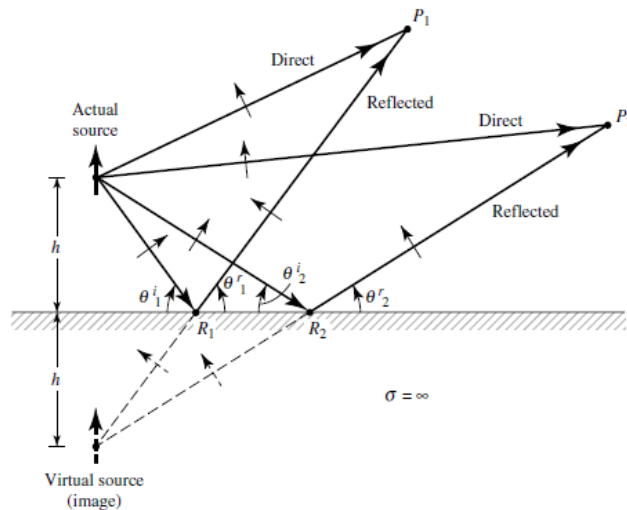
$$\omega C = 0.0058$$

$$C = \frac{0.0058}{2\pi \times 145 \times 10^6} = 6.37 \, \text{pF}$$

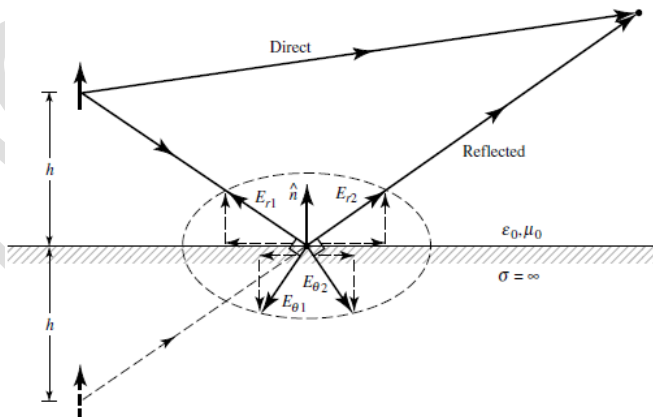
#### 4.6 องค์ประกอบเชิงเส้นที่วางใกล้หรือเหนือตัวนำสมบรูณ์ขนาดอนันต์

คุณลักษณะการแผ่พลังงานของสายอากาศดังที่กล่าวมาข้างต้นเป็นการพิจารณาภายในบริเวณของตัวกลางที่ไม่มีขอบเขต (Unbounded medium) แต่ถ้าภายในบริเวณนั้นมีสิ่งกีดขวางอยู่ใกล้กับองค์ประกอบการแผ่พลังงานจะทำให้คุณสมบัติในการแผ่พลังงานทั้งหมดของสายอากาศเปลี่ยนไป ซึ่งในทางปฏิบัติจะไม่สามารถหลีกเลี่ยงสิ่งกีดขวางได้ ถึงแม้ว่าบริเวณนั้นจะไม่มีสิ่งกีดขวางเลย แต่อย่างน้อยที่สุดก็จะมีระนาบกราวด์อย่างพื้นโลกปรากฏอยู่ ดังนั้นพลังงานใด ๆ จากองค์ประกอบการแผ่พลังงานจะมีการพุ่งตรงไปที่ระนาบกราวด์จึงทำให้เกิดการสะท้อน โดยขนาดและทิศทางของพลังงานสะท้อนกลับนี้จะขึ้นอยู่กับโครงสร้างและพารามิเตอร์ของระนาบกราวด์

โดยทั่วไประนาบกราวด์จะเป็นตัวกลางที่มีการสูญเสีย ( $\sigma \neq 0$ ) ซึ่งมีค่าความนำประสิทธิผลเพิ่มขึ้นตามความถี่ ดังนั้นระนาบกราวด์จึงเป็นเหมือนตัวนำที่ดี โดยค่าความนำของระนาบกราวด์นอกจากจะขึ้นอยู่กับความถี่แล้วยังขึ้นอยู่กับส่วนผสมและความชื้นอีกด้วย เพื่อให้ง่ายในการวิเคราะห์จะสมมติให้กราวด์เป็นตัวนำไฟฟ้าสมบูรณ์ (Perfect electric conductor: PEC) ราบเรียบ และมีขนาดอนันต์ ถึงแม้ว่าโครงสร้างขนาดอนันต์จะไม่มีอยู่จริง แต่สามารถนำมาประมาณสิ่งกีดขวางที่มีขนาดใหญ่เมื่อเทียบกับความยาวคลื่นได้ สำหรับกรณีผลกระทบของค่าความนำที่มีค่าจำกัดค่าหนึ่งจะกล่าวในลำดับถัดไป



(ก) ไดโพลไฟฟ้าแนวตั้ง



(ข) องค์ประกอบของสนามที่จุดสะท้อน

รูปที่ 4.10 ไดโพลไฟฟ้าแนวตั้งบนตัวนำไฟฟ้าสมบูรณ์ที่ราบเรียบและมีขนาดอนันต์

#### 4.6.1 ทฤษฎีภาพสะท้อน

ในการวิเคราะห์ประสิทธิภาพของสายอากาศที่วางใกล้กับระนาบตัวนำไฟฟ้าขนาดอนันต์ แหล่งกำเนิดเสมือน (ภาพสะท้อน) จะถูกนำมาใช้ในการคำนวณหาพลังงานที่สะท้อนจากระนาบกราวด์ ซึ่งแหล่งกำเนิดเสมือนนี้เป็นภาพสะท้อนของแหล่งกำเนิดจริงที่ปกติจะวางอยู่เหนือระนาบกราวด์ โดยแหล่งกำเนิดเสมือนจะถูกสมมติให้เกิดขึ้นด้านล่างของระนาบกราวด์ ดังนั้นจากระบบสมมูลนี้สนามที่ถูกแผ่กระจายออกจากสายอากาศที่วางอยู่เหนือระนาบกราวด์เมื่อพิจารณาที่จุดสนใจใด ๆ จะเกิดจากผลรวมของสนามที่เกิดจากแหล่งกำเนิดจริงและแหล่งกำเนิดเสมือน

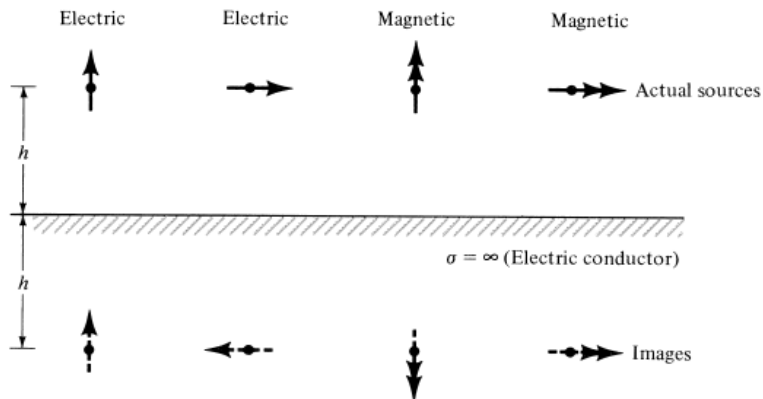
ในการเริ่มต้นการวิเคราะห์ จะสมมติให้ไดโพลไฟฟ้าแนวตั้งวางอยู่ที่ระยะ  $h$  บนตัวนำไฟฟ้าสมบูรณ์ที่ราบเรียบและมีขนาดอนันต์ดังแสดงในรูปที่ 4.10(ก) โดยลูกศรแสดงถึงโพลาริซชันของแหล่งกำเนิด จากรูปจะเห็นได้ว่าแหล่งกำเนิดจริงจะแผ่กระจายพลังงานออกไปในทุกทิศทาง เมื่อพิจารณาที่จุดสังเกต  $P_1$  จะมีคลื่นตรง (direct wave) จากแหล่งกำเนิดจริง นอกจากนี้แหล่งกำเนิดจริงยังแผ่พลังงานไปยังจุด  $R_1$  ซึ่งเป็นจุดของการสะท้อน โดยทิศทางจะหาได้จากกฎของการสะท้อน ( $\theta_1^i = \theta_1^r$ ) และคลื่นสะท้อนนี้จะเดินทางไปยังจุดสังเกต  $P_1$  เช่นกัน ซึ่งคลื่นสะท้อนนี้จะเหมือนมาจากแหล่งกำเนิดเสมือนซึ่งอยู่ที่ระยะ  $h$  ด้านล่างของตัวนำ สำหรับจุดสังเกตอื่น ๆ ก็สามารถพิจารณาสนามรวมได้ด้วยวิธีนี้เช่นกัน

โดยทั่วไปคลื่นสะท้อนจะถูกกำหนดโดยพารามิเตอร์ของตัวกลางด้านบนและตัวกลางด้านล่างของรอยต่อ เมื่อคลื่นเดินทางเข้าไปที่ตัวนำไฟฟ้าสมบูรณ์ที่อยู่ด้านล่างของรอยต่อจะเกิดการสะท้อนกลับหมดและสนามด้านล่างตัวนำมีค่าเท่ากับศูนย์ จากเงื่อนไขขอบเขตที่ว่า องค์ประกอบในแนวสัมผัส (Tangential component) กับตัวนำต้องหายไปบนพื้นผิวของตัวนำ ดังนั้นสนามไฟฟ้าที่เข้าไปตกกระทบตัวนำที่มีโพลาริเซชันแนวตั้งดังแสดงด้วยลูกศร โดยที่โพลาริเซชันของคลื่นสะท้อนจะต้องสอดคล้องกับเงื่อนไขขอบเขต นั่นหมายความว่าแหล่งกำเนิดเสมือนจะมีโพลาริเซชันเหมือนกับแหล่งกำเนิดจริง (ดังนั้นสัมประสิทธิ์การสะท้อนจะมีค่าเท่ากับ +1)

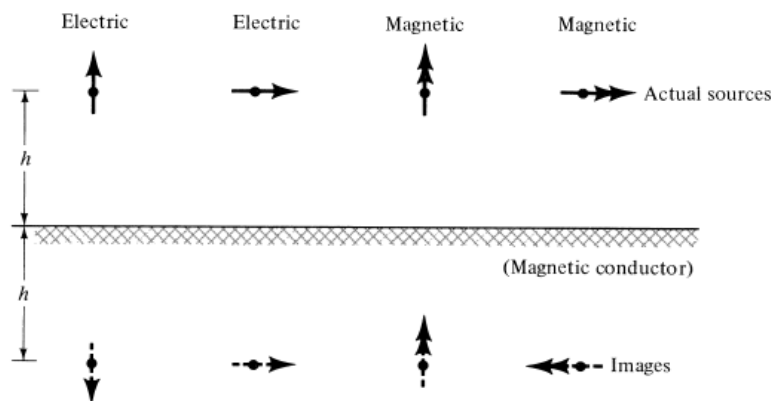
สำหรับแหล่งกำเนิดจริงที่วางในแนวนอน กระบวนการในการวิเคราะห์จะเหมือนกับไดโพลแนวตั้ง แต่แหล่งกำเนิดเสมือนที่อยู่ด้านล่างตัวนำจะมีโพลาริเซชันต่างกับแหล่งกำเนิดจริง  $180^\circ$  (ดังนั้นสัมประสิทธิ์การสะท้อนจะมีค่าเท่ากับ -1)

นอกจากแหล่งกำเนิดไฟฟ้าแล้ว แหล่งกำเนิดแม่เหล็กและตัวนำแม่เหล็กยังสามารถนำมาช่วยในการวิเคราะห์ปัญหาด้านเงื่อนไขขอบเขตได้เช่นเดียวกัน โดยรูปที่ 4.11(ก) แสดงแหล่งกำเนิดจริงและ

แหล่งกำเนิดเสมือนสำหรับระนาบตัวนำไฟฟ้า โดยลูกศรเดียวแสดงองค์ประกอบไฟฟ้าและสองอันหมายถึงแม่เหล็ก สำหรับรูปที่ 4.11(ข) แสดงแหล่งกำเนิดแม่เหล็กและตัวนำแม่เหล็ก



(ก) ตัวนำไฟฟ้า



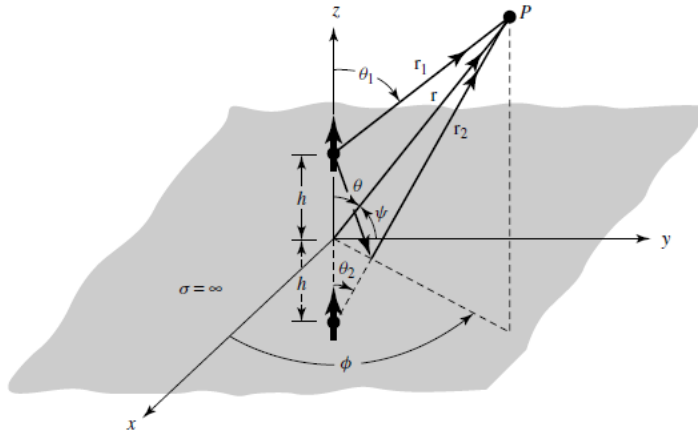
(ข) ตัวนำแม่เหล็ก

รูปที่ 4.11 แหล่งกำเนิดไฟฟ้าและแหล่งกำเนิดแม่เหล็กและภาพเสมือนของแหล่งกำเนิดนี้ที่วางใกล้ตัวนำไฟฟ้าสมบูรณ์ (PEC) และตัวนำแม่เหล็กสมบูรณ์ (PMC)

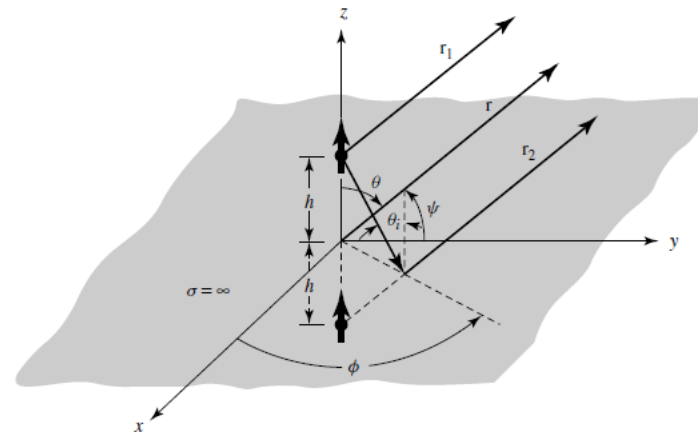
#### 4.6.2 ไดโพลไฟฟ้าแนวตั้ง

ขั้นตอนในการวิเคราะห์สำหรับองค์ประกอบทางไฟฟ้าและแม่เหล็กทั้งแนวตั้งและแนวนอนที่วางอยู่ใกล้กับระนาบตัวนำไฟฟ้าและแม่เหล็กขนาดอนันต์จะใช้ทฤษฎีภาพสะท้อน จากวิธีการในรูปที่ 4.10 จะสามารถคำนวณหาสนามขององค์ประกอบเชิงเส้นในแนวตั้งใกล้ตัวนำไฟฟ้าสมบูรณ์ได้ และเพื่อให้ง่ายต่อการคำนวณจะพิจารณาเฉพาะจุดสังเกตในบริเวณสนามระยะไกลเท่านั้น

จากโครงสร้างไดโพลแนวตั้งบนระนาบกราวด์อนันต์ดังรูปที่ 4.12(ก) องค์ประกอบสนามระยะไกลที่เกิดจากแหล่งกำเนิดสนามไฟฟ้าโดยตรงของไดโพลจั่วที่มีความยาว  $l$  กระแสคงที่  $I_0$  และจุดสังเกต  $P$  สามารถหาได้จากสมการ (4.24) คือ



(ก) ไดโพลไฟฟ้าแนวตั้งบนระนาบกราวด์



(ข) จุดสังเกตที่ระยะไกล

รูปที่ 4.12 ไดโพลไฟฟ้าแนวตั้งบนตัวนำไฟฟ้าสมบูรณ์ขนาดอนันต์

$$E_\theta^d = j\eta \frac{kI_0 l e^{-jkr_1}}{4\pi r_1} \sin \theta_1 \quad (4.76)$$

องค์ประกอบสนามสะท้อนที่เกิดจากแหล่งกำเนิดเสมือน (ภาพสะท้อน) แสดงได้ดังรูปที่ 4.12(ก) สามารถเขียนได้เป็น

$$E_\theta^r = jR_v \eta \frac{kI_0 l e^{-jkr_2}}{4\pi r_2} \sin \theta_2 \quad (4.77)$$

หรือ

$$E_\theta^r = j\eta \frac{kI_0 l e^{-jkr_2}}{4\pi r_2} \sin \theta_2 \quad (4.77ก)$$

เนื่องจากสัมประสิทธิ์การสะท้อน  $R_v = +1$

สนามรวมเหนือตัวนำ ( $z \geq 0$ ) มีค่าเท่ากับผลรวมขององค์ประกอบสนามไฟฟ้าโดยตรงกับองค์ประกอบที่ได้จากการสะท้อนในสมการที่ (4.77) และ (4.77ก) เนื่องจากสนามไม่สามารถอยู่ภายในตัวนำไฟฟ้าสมบูรณ์และจะมีค่าเท่ากับศูนย์ด้านล่างของรอยต่อ เพื่อให้ง่ายต่อการหาสนามไฟฟ้ารวมจะกำหนดให้ระนาบรอยต่ออยู่ที่จุดกำเนิด ( $z = 0$ )

โดยทั่วไปสามารถเขียนแสดงได้คือ

$$r_1 = [r^2 + h^2 - 2rh \cos \theta]^{1/2} \quad (4.78ก)$$

$$r_2 = [r^2 + h^2 - 2rh \cos(\pi - \theta)]^{1/2} \quad (4.78ข)$$

สำหรับจุดสังเกตระยะไกล ( $r \gg h$ ) สมการ (4.78ก) และ (4.78ข) สามารถลดรูปโดยการใช้องศากระจายแบบไบโนเมียลได้คือ

$$r_1 \simeq r - h \cos \theta \quad (4.79ก)$$

$$r_2 \simeq r + h \cos \theta \quad (4.79ข)$$

จากรูปที่ 4.12(ข) และจากสมการ (4.79ก) และ (4.79ข) ระยะทางจะขนานกัน เนื่องจากการเปลี่ยนแปลงของแอมพลิจูดไม่ได้ส่งผลมากนัก ดังนั้นสามารถประมาณได้คือ

$$r_1 \simeq r_2 \simeq r \quad \text{สำหรับการเปลี่ยนแปลงแอมพลิจูด} \quad (4.80)$$

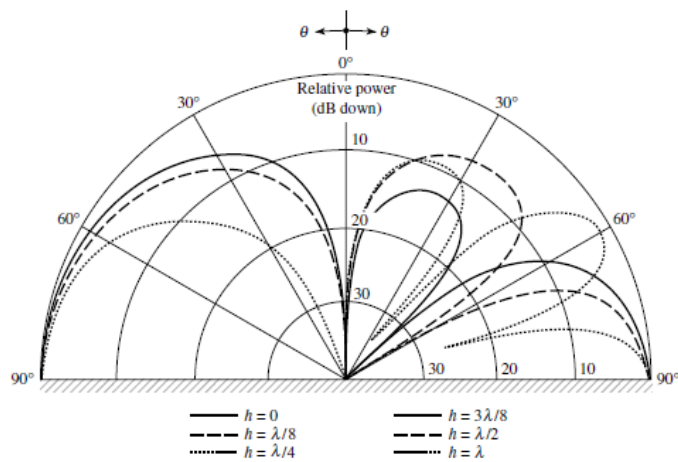
เมื่อใช้สมการ (4.79ก) – (4.80) ผลรวมของสมการ (4.76) และ (4.77ก) สามารถเขียนได้เป็น

$$\begin{aligned} E_\theta &\simeq j\eta \frac{kI_0 l e^{-jkr}}{4\pi r} \sin \theta [2 \cos(kh \cos \theta)] & z \geq 0 \\ E_\theta &= 0 & z \leq 0 \end{aligned} \quad (4.81)$$

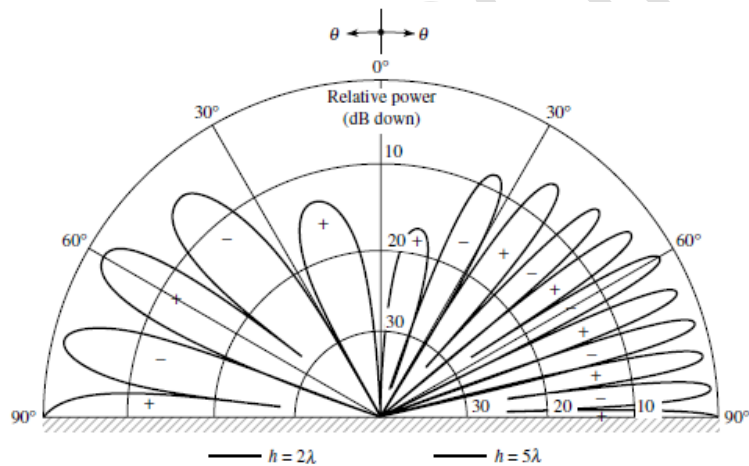
จะเห็นได้ว่าสนามไฟฟ้ารวมจะมีค่าเท่ากับผลคูณของสนามของแหล่งกำเนิดตัวเดียวที่วางไว้ในตำแหน่งที่สมมาตรกับจุดกำเนิดกับแฟคเตอร์ตัวประกอบ (พจน์ที่อยู่ในวงเล็บ [ ] ในสมการ (4.42)) ซึ่งเป็นฟังก์ชันของความสูงระหว่างสายอากาศกับระนาบตัวนำ ( $h$ ) และมุมของจุดสังเกต ( $\theta$ ) ซึ่งผลคูณนี้เรียกว่า ผลคูณแบบรูป (Pattern multiplication) และแฟคเตอร์ตัวประกอบเรียกว่า แฟคเตอร์อาร์เรย์ (Array factor)

รูปร่างและแอมพลิจูดของสนามไม่เพียงถูกควบคุมจากสนามของแหล่งกำเนิดองค์ประกอบเดียว แต่ยังขึ้นอยู่กับตำแหน่งการวางองค์ประกอบเหนือระนาบกราวด์ด้วยเช่นกัน รูปที่ 4.13 แสดงการเปลี่ยนแปลงของแบบรูปกำลังที่ถูกลบโมลโลส์ (0 dB) สำหรับความสูง  $h = 0, \lambda/8, \lambda/4, 3\lambda/8, \lambda/2$  และ  $\lambda$  เนื่องจากแบบรูปมีความสมมาตรจึงแสดงแบบรูปเพียงครึ่งเดียว ซึ่งจะเห็นได้ว่าสำหรับ  $h > \lambda/4$  จะมีพูกลี้น้อยลงมากขึ้นแต่มีพูกลี้นหลักเพียงพูเดียว เมื่อ  $h$  มากกว่า  $\lambda$  จำนวนพูกลี้น้อยลงจะมากขึ้นอีก รูปที่ 4.14 แสดงแบบรูปเมื่อ  $h = 2\lambda$  และ  $5\lambda$  จำนวนพูกลี้น้อยลงจะมากขึ้นจนมีลักษณะเหมือนเปลือกหอย (Scalloping) โดยทั่วไปจำนวนพูกลี้นทั้งหมดจะมีค่าเป็นจำนวนเต็มและมีค่าประมาณได้คือ

$$\text{จำนวนพูกลี้น} \simeq \frac{2h}{\lambda} + 1 \quad (4.82)$$



รูปที่ 4.13 แบบรูปแอมพลิจูดในระนาบมุมยกของไดโพลจีว้างในแนวตั้งที่ระยะความสูงต่าง ๆ เหนือ  
ตัวนำไฟฟ้าสมบูรณ์ขนาดอนันต์



รูปที่ 4.14 แบบรูปแอมพลิจูดในระนาบมุมยกของไดโพลจีว้างในแนวตั้งที่ระยะความสูง  $h = 2\lambda$  และ  
 $5\lambda$  เหนือตัวนำไฟฟ้าสมบูรณ์ขนาดอนันต์

เนื่องจากสนามรวมของสายอากาศจะแตกต่างจากสนามขององค์ประกอบเดี่ยว จึงทำให้สภาพเจาะจง  
ทิศทางและความต้านทานการแผ่พลังงานจะต่างออกไปด้วย ดังนั้นในการคำนวณหาพารามิเตอร์ทั้งสอง  
จะเริ่มจากการหาค่ากำลังการแผ่พลังงานรวมบนผิวปิดทรงกลมรัศมี  $r$  จะได้



$$\begin{aligned}
 P_{rad} &= \oint_S \mathbf{W}_{av} \cdot d\mathbf{s} = \frac{1}{2\eta} \int_0^{2\pi} \int_0^{\pi/2} |E_\theta|^2 r^2 \sin\theta d\theta d\phi \\
 &= \frac{\pi}{\eta} \int_0^{\pi/2} |E_\theta|^2 r^2 \sin\theta d\theta
 \end{aligned} \tag{4.83}$$

ซึ่งจะได้

$$P_{rad} = \pi\eta \left[ \frac{I_0 l}{\lambda} \right]^2 \left[ \frac{1}{3} - \frac{\cos(2kh)}{(2kh)^2} + \frac{\sin(2kh)}{(2kh)^3} \right] \tag{4.84}$$

เมื่อ  $kh \rightarrow \infty$  กำลังการแผ่พลังงานในสมการ (4.84) จะมีค่าเท่ากับองค์ประกอบเดียว อย่างไรก็ตาม เมื่อ  $kh \rightarrow 0$  กำลังการแผ่พลังงานสามารถแสดงโดยการกระจายของฟังก์ชันไซน์และโคไซน์ในรูปอนุกรมซึ่งทำให้กำลังมีค่าเป็นสองเท่าขององค์ประกอบเดียว ดังนั้นสามารถหาค่าความเข้มการแผ่พลังงานได้คือ

$$U = r^2 W_{av} = r^2 \left( \frac{1}{2\eta} |E_\theta|^2 \right) = \frac{\eta}{2} \left[ \frac{I_0 l}{\lambda} \right]^2 \sin^2 \theta \cos^2(kh \cos \theta) \tag{4.85}$$

โดยค่าสูงสุดของความเข้มการแผ่พลังงานในสมการ (4.85) จะเกิดที่  $\theta = \pi/2$  เมื่อไม่คิดกรณี  $kh \rightarrow \infty$  จะได้

$$U_{\max} = U|_{\theta=\pi/2} = \frac{\eta}{2} \left[ \frac{I_0 l}{\lambda} \right]^2 \tag{4.86}$$

ซึ่งจะเห็นได้ว่าค่าความเข้มการแผ่พลังงานสูงสุดจะมีค่าเป็นสี่เท่าเมื่อเทียบกับองค์ประกอบเดียว ดังนั้นสามารถหาสภาพเจาะจงทิศทางได้คือ

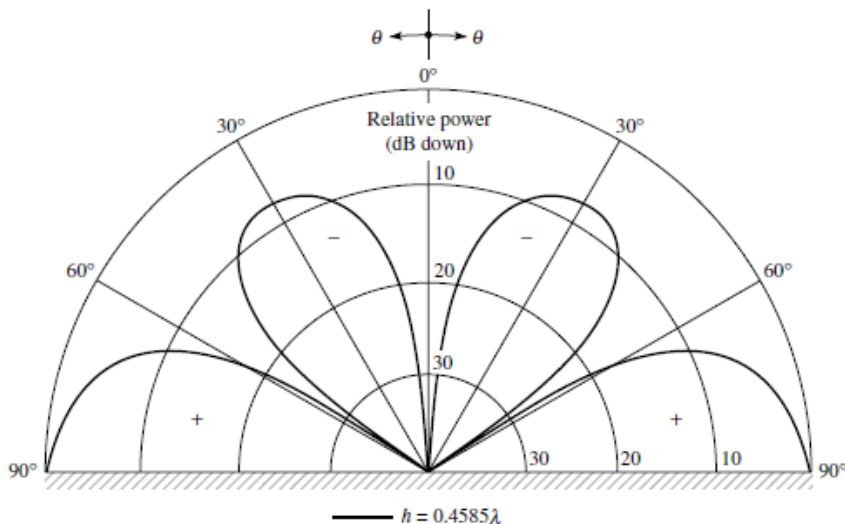
$$D_0 = \frac{4\pi U_{\max}}{P_{rad}} = \frac{2}{\left[ \frac{1}{3} - \frac{\cos(2kh)}{(2kh)^2} + \frac{\sin(2kh)}{(2kh)^3} \right]} \tag{4.87}$$

สำหรับกรณี  $kh = 0$  ค่าสภาพเจาะจงทิศทางจะมีค่าเท่ากับ 3 และมีค่าสูงสุดที่  $kh = 2.281$  หรือ  $h = 0.4585\lambda$  ซึ่งสภาพเจาะจงทิศทางจะมีค่าเท่ากับ 6.566 ซึ่งจะมีค่ามากกว่าองค์ประกอบเดี่ยวสี่เท่า (องค์ประกอบเดี่ยวมีค่าเท่ากับ 1.5) รูปที่ 4.15 แสดงแบบรูปเมื่อ  $h = 0.4585\lambda$  และสภาพเจาะจงทิศทางในสมการ (4.87) แสดงในรูปที่ 4.16 สำหรับ  $0 \leq h \leq 5\lambda$

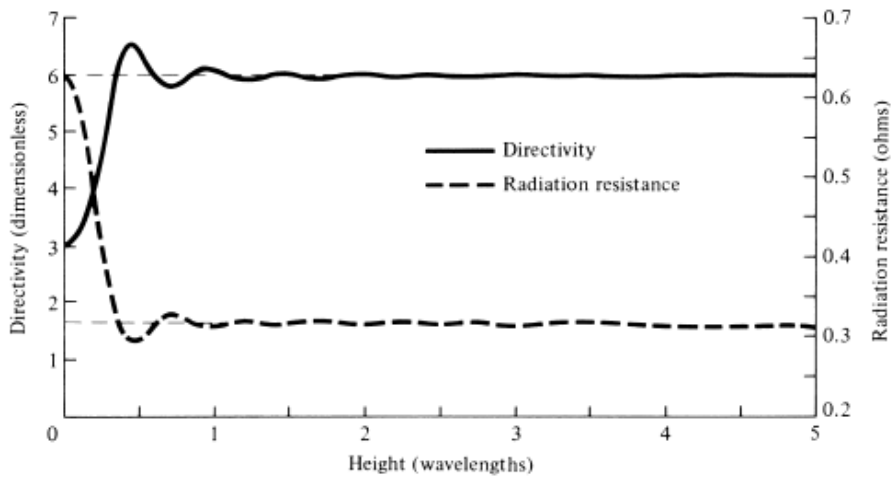
ซึ่งสามารถหาความต้านทานการแผ่พลังงานได้คือ

$$R_r = \frac{2P_{rad}}{|I_0|^2} = 2\pi\eta \left(\frac{l}{\lambda}\right)^2 \left[ \frac{1}{3} - \frac{\cos(2kh)}{(2kh)^2} + \frac{\sin(2kh)}{(2kh)^3} \right] \quad (4.88)$$

สำหรับกรณี  $kh \rightarrow \infty$  ค่าความต้านทานการแผ่พลังงานจะมีค่าเท่ากับองค์ประกอบเดี่ยว และสำหรับกรณี  $kh = 0$  ค่าความต้านทานการแผ่พลังงานจะมีค่าเป็นสองเท่าขององค์ประกอบเดี่ยว และเมื่อ  $kh = 0$  ค่าของ  $R_r$  ในสมการ (4.88) จะมีค่าเพียงครึ่งเดียวขององค์ประกอบเดี่ยวที่ยาว  $l' = 2l$  โดยค่าความต้านทานการแผ่พลังงานในสมการ (4.88) แสดงในรูปที่ 4.16 สำหรับ  $0 \leq h \leq 5\lambda$  เมื่อ  $l = \lambda / 50$  และองค์ประกอบวางในตัวกลางที่เป็นอากาศว่าง ( $\eta \simeq 120\pi$ ) โดยสามารถเปรียบเทียบกับกรณีองค์ประกอบเดี่ยวในตัวอย่างที่ 4.1 ซึ่งมีค่า  $R_r = 0.316$  โอห์ม



รูปที่ 4.15 แบบรูปแอมพลิจูดในระนาบมุมยกของไดโพลจิ้ววางในแนวตั้งที่ระยะความสูง  $h = 0.4585\lambda$  เหนือตัวนำไฟฟ้าสมบูรณ์ขนาดอนันต์



รูปที่ 4.16 สภาพเจาะจงทิศทางและความต้านทานการแผ่พลังงานของไดโพลจิ้วางในแนวตั้งที่เป็นฟังก์ชันกับความสูงเหนือตัวนำไฟฟ้าสมบูรณ์ขนาดอนันต์

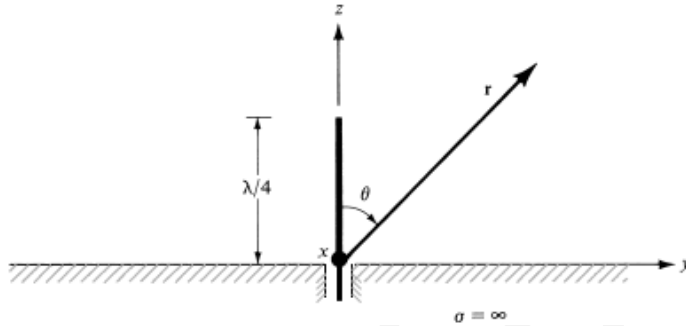
#### 4.6.3 โมโนโพล

ในทางปฏิบัติ สายอากาศโมโนโพล (Monopole antenna) ความยาวหนึ่งในสี่ความยาวคลื่น ( $l = \lambda / 4$ ) ที่วางบนระนาบกราวด์และป้อนด้วยสายนำสัญญาณโคแอกเซียลได้ถูกนำมาใช้งานกันอย่างแพร่หลายดังแสดงในรูปที่ 4.17(ก) จากทฤษฎีภาพสะท้อนในรูปที่ 4.11 ภาพสะท้อนของโมโนโพลความยาว  $\lambda / 4$  วางในแนวตั้งเหนือระนาบกราวด์จะเหมือนกับไดโพลความยาว  $\lambda / 2$  ดังรูปที่ 4.17(ข)

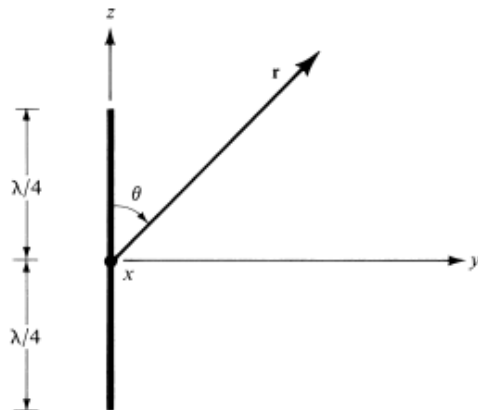
เมื่อพิจารณาโมโนโพลความยาว  $l / 2$  ที่วางบนระนาบกราวด์ขนาดอนันต์ ด้วยการใช้ทฤษฎีภาพสะท้อน โครงสร้างของสายอากาศโมโนโพลนี้จะมีลักษณะเหมือนกับสายอากาศไดโพลที่มีความยาว  $l$  ที่แผ่พลังงานในอวกาศว่าง ดังนั้นสนามไฟฟ้าและสนามแม่เหล็กของโมโนโพลความยาว  $l = \lambda / 4$  วางบนระนาบกราวด์ขนาดอนันต์จะเหมือนกับไดโพลครึ่งความยาวคลื่นในสมการ (4.65) และ (4.66) คือ

$$E_\theta \simeq j\eta \frac{I_0 e^{-jkr}}{2\pi r} \left[ \frac{\cos\left(\frac{\pi}{2} \cos\theta\right)}{\sin\theta} \right] \quad (4.89)$$

$$H_\phi \simeq j \frac{I_0 e^{-jkr}}{2\pi r} \left[ \frac{\cos\left(\frac{\pi}{2} \cos\theta\right)}{\sin\theta} \right] \quad (4.90)$$



(ก) โมโนโพลความยาว  $\lambda / 4$  เหนือตัวนำไฟฟ้าขนาดอนันต์



(ข) การสมมูลของโมโนโพลความยาว  $\lambda / 4$  เหนือตัวนำไฟฟ้าขนาดอนันต์

รูปที่ 4.17 โมโนโพลความยาว  $\lambda / 4$  เหนือตัวนำไฟฟ้าสมบูรณ์ขนาดอนันต์

สำหรับสายอากาศที่วางบนระนาบกราวด์ขนาดอนันต์จะไม่มีสนามที่อยู่ด้านล่างของระนาบกราวด์ ดังนั้นสมการ (4.89) และ (4.90) จะถูกคำนวณหาเฉพาะส่วนด้านบนนั่นคือ  $0 \leq \theta \leq \pi / 2$  และ  $0 \leq \phi \leq 2\pi$  ดังนั้นสามารถคำนวณหากำลังการแผ่พลังงานได้คือ

$$P_{rad} = \eta \frac{|I_0|^2}{4\pi} \int_0^{\pi/2} \frac{\cos^2 \left( \frac{\pi}{2} \cos \theta \right)}{\sin \theta} d\theta \quad (4.91)$$

ซึ่งจะได้ว่า

$$P_{rad} = \frac{1}{2} |I_0|^2 (36.54) \quad (4.92)$$

ดังนั้นความต้านทานการแผ่พลังงานของโมโนโพลคือ

$$R_{rad} = 36.54 \quad (4.93)$$

ซึ่งจะเห็นได้ว่าความต้านทานการแผ่พลังงานของโมโนโพลความยาว  $\lambda / 4$  จะมีค่าเป็นครึ่งหนึ่งของไดโพลครึ่งความยาวคลื่น ในทำนองเดียวกันอิมพีแดนซ์อินพุทของโมโนโพลความยาว  $\lambda / 4$  วางเหนือตัวนำไฟฟ้าสมบูรณ์จะมีค่าเป็นครึ่งหนึ่งของไดโพลครึ่งความยาวคลื่นที่แผ่พลังงานในอวกาศว่าง ดังนั้น

$$Z_{in}(\text{monopole}) = \frac{1}{2} Z_{in}(\text{dipole}) = \frac{1}{2} [73 + j42.5] = 36.5 + j21.25 \, \Omega \quad (4.94)$$

และความเข้มการแผ่พลังงานของโมโนโพลจะมีค่ามากที่สุดที่  $\theta = \pi / 2$  นั่นคือ

$$U_{\max} = \frac{\eta}{2} \left| \frac{I_0}{2\pi} \right|^2 \quad (4.95)$$

ดังนั้นสามารถหาสภาพเจาะจงทิศทางของโมโนโพลความยาว  $l = \lambda / 4$  ได้คือ

$$D_0 = 4\pi \frac{U_{\max}}{P_{\text{rad}}} = 3.284 \quad (4.96)$$

ซึ่งจะเห็นได้ว่าสภาพเจาะจงทิศทางของโมโนโพลความยาว  $l = \lambda / 4$  เหนือระนาบกราวด์ขนาดอนันต์จะมีค่าเป็นสองเท่าของไดโพลครึ่งความยาวคลื่น โดยสภาพเจาะจงทิศทางจะมีค่ามากที่สุดใญ่แนวของระนาบกราวด์และมีโพลาริเซชันเป็นแบบเส้นตรงแนวตั้ง

$$D_o(\text{monopole}) = 2D_o(\text{dipole}) \quad (4.97)$$

#### 4.6.4 สมการโดยประมาณสำหรับการออกแบบและคำนวณอย่างง่าย

ความต้านทานอินพุทของสายอากาศไดโพลที่ความยาวใด ๆ สามารถคำนวณได้จากสมการที่ (4.52) และ (4.62) หรือจากภาพที่ 4.7 ในขณะที่ของโมโนโพลสามารถหาได้จากสมการที่ (4.94) ซึ่งในการประมาณจะใช้ตัว  $G$  โดยที่

$$G = kl / 2 \quad \text{สำหรับไดโพล} \quad (4.98ก)$$

$$G = kl \quad \text{สำหรับโมโนโพล} \quad (4.98ข)$$

เมื่อ  $l$  คือ ความยาวรวมขององค์ประกอบ ดังนั้นสำหรับการประมาณหาค่าความต้านทานอินพุทสามารถหาได้คือ

$$0 < G < \pi / 4$$

(ความต้านทานอินพุทสูงสุดของไดโพลน้อยกว่า 12.377 โอห์ม)

$$R_m(\text{dipole}) = 20G^2 \quad 0 < l < \lambda / 4 \quad (4.99ก)$$

$$R_m(\text{monopole}) = 10G^2 \quad 0 < l < \lambda / 8 \quad (4.99ข)$$

$$\pi / 4 \leq G < \pi / 2$$

(ความต้านทานอินพุตสูงสุดของไดโพลน้อยกว่า 76.383 โอห์ม)

$$R_m(\text{dipole}) = 24.7G^{2.5} \quad \lambda / 4 \leq l < \lambda / 2 \quad (4.100ก)$$

$$R_m(\text{monopole}) = 12.35G^{2.5} \quad \lambda / 8 \leq l < \lambda / 4 \quad (4.100ข)$$

$$\pi / 2 \leq G < 2$$

(ความต้านทานอินพุตสูงสุดของไดโพลน้อยกว่า 200.53 โอห์ม)

$$R_m(\text{dipole}) = 11.14G^{4.17} \quad \lambda / 2 \leq l < 0.6366\lambda \quad (4.101ก)$$

$$R_m(\text{monopole}) = 5.57G^{4.17} \quad \lambda / 4 \leq l < 0.3183\lambda$$

(4.101ข)

ซึ่งจะเห็นได้ว่าสมการเหล่านี้ค่อนข้างง่ายและสะดวกต่อการนำไปใช้โดยการกำหนดความต้านทานอินพุตและคำนวณหาความยาวของสายอากาศ

**ตัวอย่างที่ 4.4** จงคำนวณหาความยาวของไดโพลเมื่อกำหนดความต้านทานอินพุตเท่ากับ 50 โอห์ม

**วิธีทำ**

ใช้สมการที่ (4.100ก) จะได้

$$50 = 24.7G^{2.5} \rightarrow G = 1.3259 = kl / 2$$

ดังนั้น

$$l = 0.0422\lambda$$

เมื่อใช้สมการ (4.52) และ (4.62) สำหรับ  $l = 0.422\lambda$  จะได้  $R_m = 45.816$  โอห์ม ซึ่งมีค่าใกล้เคียงกับค่าที่ต้องการคือ 50 โอห์ม ในทำนองเดียวกันถ้าใช้สมการ (4.52) และ (4.62) ที่ความต้านทาน 50 โอห์ม จะได้  $l = 0.4363\lambda$

#### 4.6.5 ไดโพลไฟฟ้าแนวนอน

การจัดวางไดโพลไฟฟ้าอีกรูปแบบหนึ่งคือ การจัดวางไดโพลแนวนอนบนระนาบกรวดซ์ขนาดใหญ่ดังแสดงในรูปที่ 4.18 ซึ่งในการวิเคราะห์ไดโพลไฟฟ้าแนวนอนจะเหมือนกับกรณีไดโพลไฟฟ้าแนวตั้ง โดยใช้ทฤษฎีภาพสะท้อนและให้จุดสังเกตอยู่ในย่านสนามระยะไกลดังแสดงในรูปที่ 4.19(ก) และ 4.19(ข) สนามไฟฟ้าจากองค์ประกอบโดยตรงสามารถเขียนได้คือ

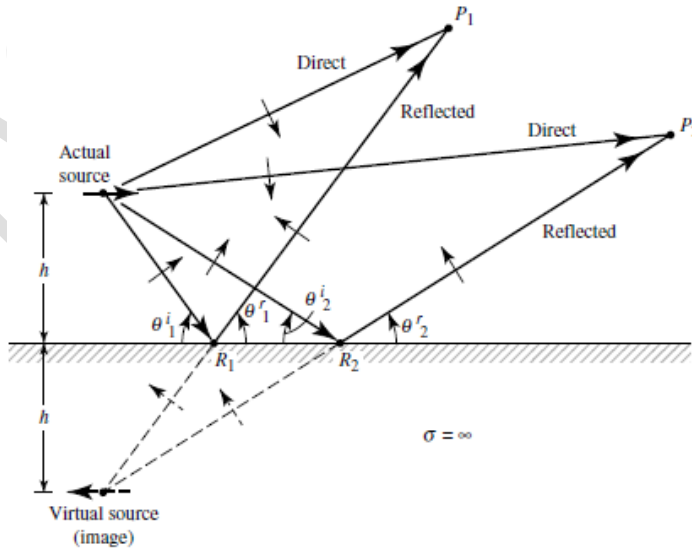
$$E_{\psi}^d = j\eta \frac{kI_0 l e^{-jkr_1}}{4\pi r_1} \sin \psi \quad (4.102)$$

องค์ประกอบสนามสะท้อนที่เกิดจากแหล่งกำเนิดเสมือน (ภาพสะท้อน) คือ

$$E_{\psi}^r = jR_h \eta \frac{kI_0 l e^{-jkr_2}}{4\pi r_2} \sin \psi \quad (4.103)$$

หรือ

$$E_{\psi}^r = -j\eta \frac{kI_0 l e^{-jkr_2}}{4\pi r_2} \sin \psi \quad (4.103ก)$$



รูปที่ 4.18 ไดโพลไฟฟ้าแนวนอนและภาพสะท้อนที่อยู่เหนือตัวนำไฟฟ้าสมบูรณ์ราบเรียบขนาดอนันต์



เนื่องจากสัมประสิทธิ์การสะท้อน  $R_h = -1$

โดยที่  $\psi$  เป็นมุมที่วัดจากแกน  $y$  ไปยังจุดสังเกต ซึ่งคำนวณได้จาก

$$\cos \psi = \mathbf{a}_y \cdot \mathbf{a}_r = \mathbf{a}_y \cdot \mathbf{a}_x \sin \theta \cos \phi + \mathbf{a}_y \sin \theta \sin \phi + \mathbf{a}_z \cos \theta = \sin \theta \sin \phi \quad (4.104)$$

และ

$$\sin \psi = \sqrt{1 - \cos^2 \psi} = \sqrt{1 - \sin^2 \theta \sin^2 \phi} \quad (4.105)$$

โดยที่จุดสังเกตที่สนามระยะไกล

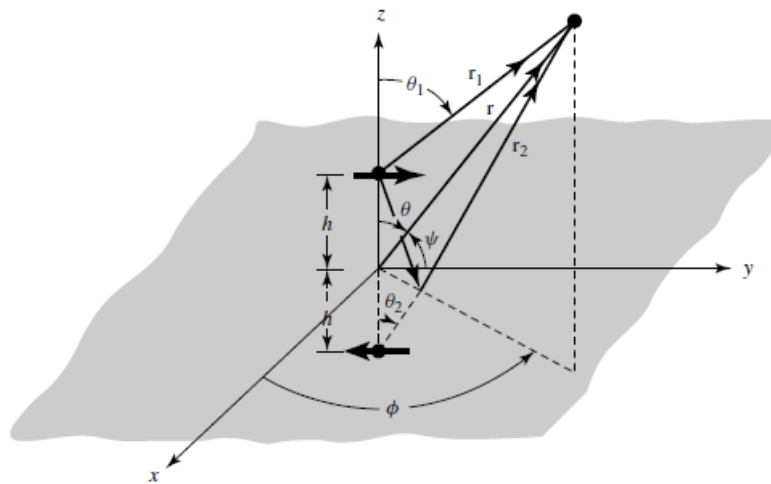
$$\left. \begin{aligned} r_1 &\simeq r - h \cos \theta \\ r_2 &\simeq r + h \cos \theta \end{aligned} \right\} \quad \text{สำหรับการเปลี่ยนแปลงของเฟส} \quad (4.106ก)$$

$$r_1 \simeq r_2 \simeq r \quad \text{สำหรับการเปลี่ยนแปลงของขนาด} \quad (4.106ข)$$

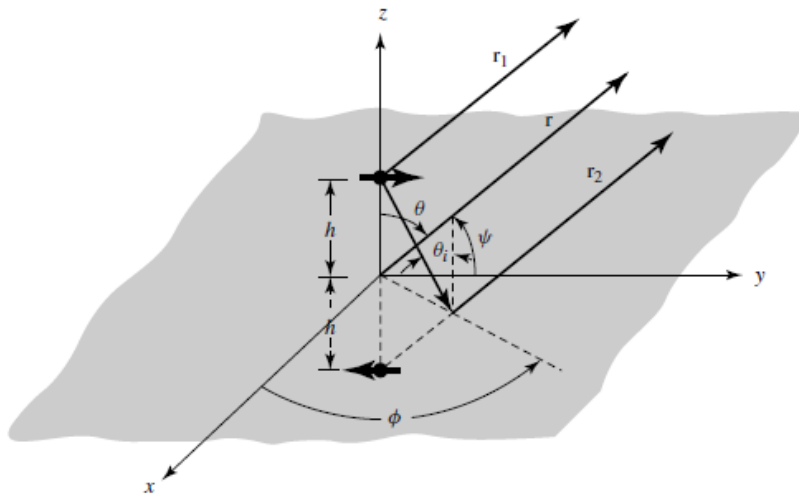
รูปที่ 4.20 แสดงแบบรูปสองมิติในระนาบมุมยกสำหรับ  $\phi = 90^\circ$  (ระนาบ  $yz$ ) เมื่อความสูง  $h = 0, \lambda/8, \lambda/4, 3\lambda/8, \lambda/2$  และ  $\lambda$  ซึ่งจะเห็นได้ว่าแบบรูปสนามมีการเปลี่ยนแปลงไปตามความสูงเหนือระนาบกราวด์

เมื่อทำการเพิ่มความสูงให้มากกว่าหนึ่งความยาวคลื่น พบว่าจำนวนพูคลื่นจะมีค่ามากขึ้นไปด้วย ดังแสดงในรูปที่ 4.21 เมื่อ  $h = 2\lambda$  และ  $5\lambda$  โดยรูปร่างแบบรูปจะมีลักษณะเหมือนเปลือกหอย โดยจำนวนของโลบจะมีค่าประมาณได้คือ

$$\text{จำนวนพูคลื่น} \simeq 2 \left( \frac{h}{\lambda} \right) \quad (4.108)$$

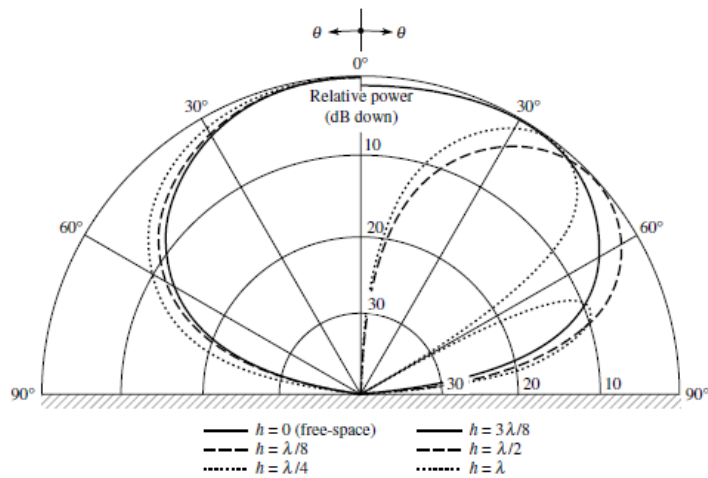


(ก) ไดโพลไฟฟ้าแนวอนเหนือระนาบกราวด์

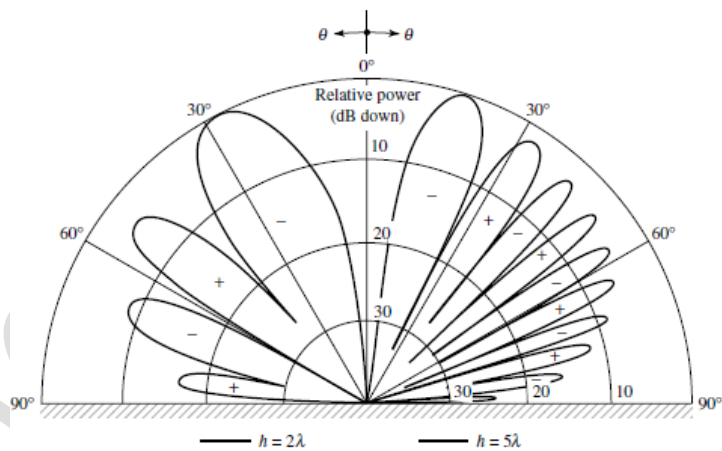


(ข) จุดสังเกตที่ระยะไกล

รูปที่ 4.19 ไดโพลไฟฟ้าแนวอนเหนือตัวนำไฟฟ้าสมบูรณ์ขนาดอนันต์



รูปที่ 4.20 แบบรูปแอมพลิจูดในระนาบมุมยก ( $\phi = 90^\circ$ ) ของไดโพลจี้วแนวนอนที่ความสูงต่างกันเหนือตัวนำไฟฟ้าสมบูรณ์ขนาดอนันต์



รูปที่ 4.21 แบบรูปแอมพลิจูดในระนาบมุมยก ( $\phi = 90^\circ$ ) ของไดโพลจี้วแนวนอนที่ความสูง  $h = 2\lambda$  และ  $5\lambda$  เหนือตัวนำไฟฟ้าสมบูรณ์ขนาดอนันต์

**ตัวอย่างที่ 4.5** จงหาองค์ประกอบสนามไฟฟ้าและสนามแม่เหล็กที่สนามระยะไกลของไดโพลจั่วแนวนอนที่วางที่จุดกำเนิดในระบบพิกัดตั้งรูปที่ 4.1 โดยใช้วิธีของศักย์เวกเตอร์  $\mathbf{A}$  และขั้นตอนในบทที่ 3

### วิธีทำ

ใช้สมการที่ (4.4) แต่เปลี่ยนการจัดวางของไดโพลเป็นแนวนอนที่มีกระแสสม่ำเสมอในแนวแกน  $y$  ดังนั้นศักย์เวกเตอร์สามารถเขียนได้คือ

$$\mathbf{A}(x, y, z) = \hat{\mathbf{a}}_y \frac{\mu I_0 l}{4\pi r} e^{-jkr}$$

เมื่อแปลงเป็นระบบพิกัดทรงกลมจะได้

$$A_\theta = A_y \cos \theta \sin \phi = \frac{\mu I_0 l}{4\pi r} e^{-jkr} \cos \theta \sin \phi$$

$$A_\phi = A_y \cos \phi = \frac{\mu I_0 l}{4\pi r} e^{-jkr} \cos \phi$$

จากบทที่ 3 สามารถหาองค์ประกอบสนามไฟฟ้าและสนามแม่เหล็กในย่านสนามระยะไกลได้คือ

$$E_\theta \simeq -j\omega A_\theta = -j \frac{\omega \mu I_0 l}{4\pi r} e^{-jkr} \cos \theta \sin \phi$$

$$E_\phi \simeq -j\omega A_\phi = -j \frac{\omega \mu I_0 l}{4\pi r} e^{-jkr} \cos \phi$$

$$H_\theta \simeq -\frac{E_\phi}{\eta} = -j \frac{\omega \mu I_0 l}{4\pi \eta r} e^{-jkr} \cos \phi$$

$$H_\phi \simeq +\frac{E_\theta}{\eta} = +j \frac{\omega \mu I_0 l}{4\pi \eta r} e^{-jkr} \cos \theta \sin \phi$$

จากวิธีการเดียวกันกับไดโพลแนวตั้ง สามารถหากำลังการแผ่พลังงานได้คือ

$$P_{rad} = \eta \frac{\pi}{2} \left[ \frac{I_0 l}{\lambda} \right] \left[ \frac{2}{3} - \frac{\sin(2kh)}{2kh} - \frac{\cos(2kh)}{(2kh)^2} + \frac{\sin(2kh)}{(2kh)^3} \right] \quad (4.109)$$

และความต้านทานการแผ่พลังงานคือ

$$R_r = \eta \pi \left[ \frac{l}{\lambda} \right]^2 \left[ \frac{2}{3} - \frac{\sin(2kh)}{2kh} - \frac{\cos(2kh)}{(2kh)^2} + \frac{\sin(2kh)}{(2kh)^3} \right] \quad (4.110)$$

สำหรับกรณีที่  $kh \rightarrow 0$  ดังนั้นจะได้

$$R_r = \eta \pi \left( \frac{l}{\lambda} \right)^2 \left[ \frac{2}{3} - \frac{2}{3} + \frac{8}{15} \left( \frac{2\pi h}{\lambda} \right)^2 \right] = \eta \frac{32\pi^2}{15} \left( \frac{l}{\lambda} \right)^2 \left( \frac{h}{\lambda} \right)^2 \quad (4.111)$$

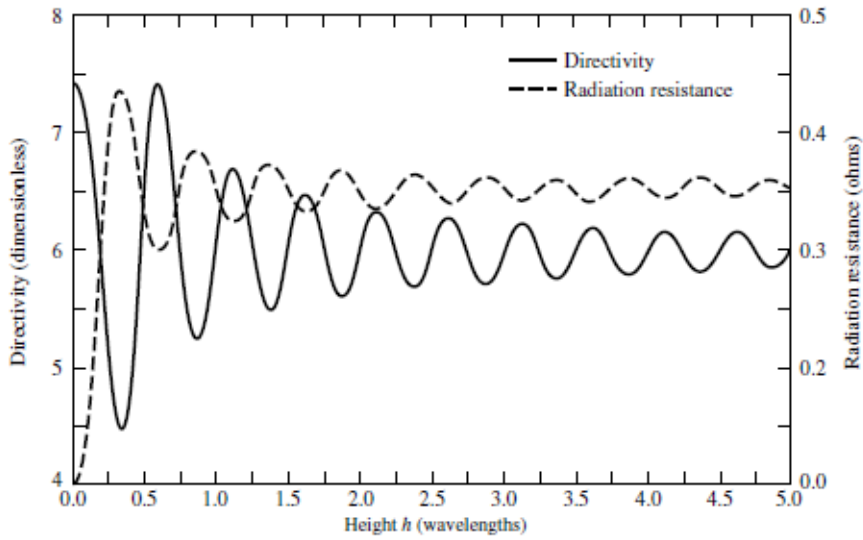
สำหรับกรณีที่  $kh \rightarrow \infty$  สมการ (4.110) จะลดเหลือเหมือนกับสายอากาศองค์ประกอบเดียว โดยความต้านทานการแผ่พลังงานในสมการ (4.110) สำหรับระยะ  $0 \leq h \leq 5\lambda$  เมื่อ  $l = \lambda / 50$  และแผ่พลังงานออกไปในอวกาศว่าง ( $\eta \simeq 120\pi$ ) แสดงดังรูปที่ 4.23

ความเข้มการแผ่พลังงานสามารถเขียนได้คือ

$$U \simeq \frac{r^2}{2\eta} |E_\psi|^2 = \frac{\eta}{2} \left[ \frac{I_0 l}{\lambda} \right]^2 (1 - \sin^2 \theta \sin^2 \phi) \sin^2(kh \cos \theta) \quad (4.112)$$

ค่าสูงสุดของสมการ (4.112) จะขึ้นอยู่กับค่า  $kh$  ซึ่งสามารถเขียนได้เป็น

$$U_{\max} = \begin{cases} \frac{\eta}{2} \left[ \frac{I_0 l}{\lambda} \right]^2 \sin^2(kh) & kh \leq \pi / 2 \quad (h \leq \lambda / 4, \theta = 0^\circ) \\ \frac{\eta}{2} \left[ \frac{I_0 l}{\lambda} \right]^2 & kh > \pi / 2 \quad (h > \lambda / 4, \phi = 0^\circ \text{ and } \sin(kh \cos \theta_{\max}) = 1) \end{cases} \quad (4.113)$$



รูปที่ 4.23 ความต้านทานการแผ่พลังงานและสภาพเจาะจงทิศทางสูงสุดของไดโพลไฟฟ้าจิวแนวนอนที่เป็นฟังก์ชันกับความสูงเหนือตัวนำไฟฟ้าสมบูรณ์ขนาดอนันต์

ซึ่งสามารถหาค่าสภาพเจาะจงทิศทางสูงสุดได้คือ

$$D_0 = \frac{4\pi U_{\max}}{P_{\text{rad}}} \begin{cases} \frac{4 \sin^2(kh)}{R(kh)} & kh \leq \pi/2 \quad (h \leq \lambda/4) \\ \frac{4}{R(kh)} & kh > \pi/2 \quad (h > \lambda/4) \end{cases} \quad (4.114)$$

เมื่อ

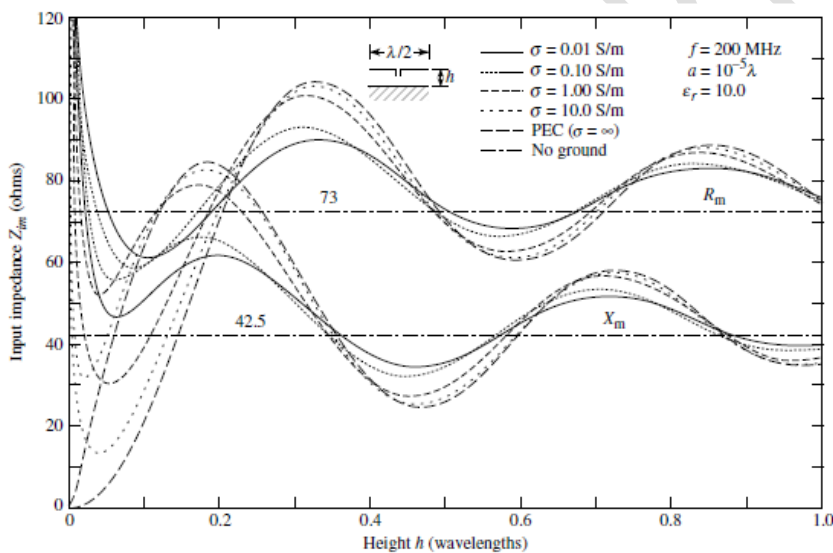
$$R(kh) = \left[ \frac{2}{3} - \frac{\sin(2kh)}{2kh} - \frac{\cos(2kh)}{(2kh)^2} + \frac{\sin(2kh)}{(2kh)^3} \right] \quad (4.114ก)$$

สำหรับกรณีที่  $kh$  มีค่าน้อยมาก ๆ จนเข้าใกล้ศูนย์ สมการ (4.114) จะลดเหลือ

$$D_0 = \frac{4 \sin^2(kh)}{\left[ \frac{2}{3} - \frac{2}{3} + \frac{18}{15} (kh)^2 \right]} = 7.5 \left( \frac{\sin(kh)}{kh} \right)^2 \quad (4.115)$$

เมื่อ  $h = 0$  องค์ประกอบจะเกิดการลัดวงจรและไม่มีการแผ่พลังงาน สภาพเจาะจงทิศทางในสมการ (4.114) สามารถแสดงได้ดังรูปที่ 4.23 ซึ่งพบว่าสภาพเจาะจงทิศทางมีค่าสูงสุดเท่ากับ 7.5 เมื่อ  $h$  มีค่าน้อยมาก ๆ และสภาพเจาะจงทิศทางมีค่าเฉลี่ยเท่ากับ 6 เมื่อ  $h \simeq (0.615 + n/2)\lambda$ ,  $n = 1, 2, 3, \dots$

อิมพีแดนซ์อินพุต  $Z_{in} = R_{in} + jX_{in}$  (อ้างอิงจากกระแสสูงสุด) ของไดโพลความยาว  $\lambda/2$  ที่วางแนวนอนเหนือตัวนำไฟฟ้าสมบูรณ์ราบเรียบที่มีการสูญเสียแสดงในรูปที่ 4.24 เมื่อ  $0 \leq h \leq \lambda$  และค่าความนำมีค่าเท่ากับ  $10^{-2}, 10^{-1}, 1, 10$  S/m และมีค่านันต์ (PEC) ซึ่งจากรูปพบว่าค่าความนำส่งผลกระทบต่ออิมพีแดนซ์อินพุตไม่มากนักเมื่อเทียบกับไดโพลแนวตั้งที่วางอยู่เหนือระนาบกราวด์ โดยค่าความนำนี้อาจจะหมายถึงพื้นโลกที่ค่าความนำขึ้นอยู่กับความแห้งและความชื้น



รูปที่ 4.24 อิมพีแดนซ์อินพุตของไดโพลความยาว  $\lambda/2$  ที่วางแนวนอนเหนือตัวนำไฟฟ้าสมบูรณ์ราบเรียบที่มีการสูญเสีย

#### 4.7 ผลกระทบของกราวด์

จากสองหัวข้อที่ผ่านมา คุณลักษณะการแผ่พลังงาน (แบบรูป ความต้านทานการแผ่พลังงาน และสภาพเจาะจงทิศทาง) สามารถหาได้จากกราวด์ที่องค์ประกอบเชิงเส้นขนาดจิ๋วแนวตั้งและแนวนอนวางอยู่เหนือระนาบตัวนำไฟฟ้าสมบูรณ์ ซึ่งเป็นตัวนำในอุดมคติ ( $\sigma = \infty$ ) อย่างไรก็ตามในความเป็นจริงสิ่งกีดขวางไม่ได้เป็นตัวนำในอุดมคติและอยู่ในระบบสายอากาศเสมือนนั่นคือ ระนาบกราวด์ (พื้นโลก)

นอกจากนี้พื้นโลกยังไม่ได้เป็นพื้นผิวราบ แต่เพื่อให้ง่ายต่อการวิเคราะห์จึงมักสมมติให้พื้นโลกเป็นแบบราบเรียบ

โดยทั่วไปแล้วคุณลักษณะของสายอากาศที่ความถี่ต่ำ (LF) และความถี่สูง (HF) จะได้รับผลกระทบอย่างมากจากผิวโลกที่มีการสูญเสีย โดยเฉพาะอย่างยิ่งกับค่าความต้านทานอินพุทเมื่อสายอากาศวางอยู่เหนือผิวโลกที่ความสูงไม่มากนักเมื่อเทียบกับความลึกผิว (Skin depth) ของความนำของผิวโลก ส่งผลให้ความต้านทานอินพุทของสายอากาศเหนือผิวโลกมีค่ามากกว่าความต้านทานของสายอากาศในอวกาศว่าง ดังนั้นประสิทธิภาพของสายอากาศจะลดลง ซึ่งการปรับปรุงประสิทธิภาพของสายอากาศสามารถทำได้โดยการวางเส้นลวดหรือแผ่นโลหะบนระนาบกราวด์

#### 4.7.1 ไดโพลไฟฟ้าแนวตั้ง

สนามที่แผ่ออกจากไดโพลไฟฟ้าจั่วแนวตั้งที่วางอยู่เหนือระนาบกราวด์สามารถหาได้จากโครงสร้างในรูปที่ 4.12(ก) และ 4.12(ข) โดยสมมติให้ผิวโลกราบเรียบและมีจุดสังเกตในย่านสนามระยะไกล ซึ่งองค์ประกอบของสนามโดยตรงสามารถหาได้จากสมการ (4.76) และองค์ประกอบของสนามสะท้อนสามารถหาได้จากสมการ (4.77) เมื่อสัมประสิทธิ์การสะท้อน  $R_v$  หาได้คือ

$$R_v = \frac{\eta_0 \cos \theta_i - \eta_1 \cos \theta_t}{\eta_0 \cos \theta_i + \eta_1 \cos \theta_t} = -R_{||} \quad (4.116)$$

โดยที่  $R_{||}$  คือ สัมประสิทธิ์การสะท้อนสำหรับโพลาริเซชันขนาน

$$\eta_0 = \sqrt{\frac{\mu_0}{\epsilon_0}} \text{ คือ อินทรีนสิกอิมพีแดนซ์ของอวกาศว่าง}$$

$$\eta_1 = \sqrt{\frac{j\omega\mu_1}{\sigma_1 + j\omega\epsilon_1}} \text{ คือ อินทรีนสิกอิมพีแดนซ์ของกราวด์}$$

$\theta_i$  คือ มุมตกกระทบ (สัมพันธ์กับแนวตั้งฉาก)

$\theta_t$  คือ มุมหักเห (สัมพันธ์กับแนวตั้งฉาก)

เมื่อมุม  $\theta_i$  และมุม  $\theta_t$  สัมพันธ์กับกฎการหักเหของสเนล (Snell's law) คือ

$$\gamma_0 \sin \theta_i = \gamma_1 \sin \theta_t \quad (4.117)$$

โดยที่

$$\gamma_0 = jk_0 \text{ คือ ค่าคงที่การแพร่กระจายคลื่นในอวกาศว่าง}$$



$k_0$  คือ ค่าคงที่เฟสในอวกาศว่าง

$\gamma_1 = \alpha_1 + jk_1$  คือ ค่าคงที่การแพร่กระจายสำหรับกราวด์

$\alpha_1$  คือ ค่าคงที่การลดทอนสำหรับกราวด์

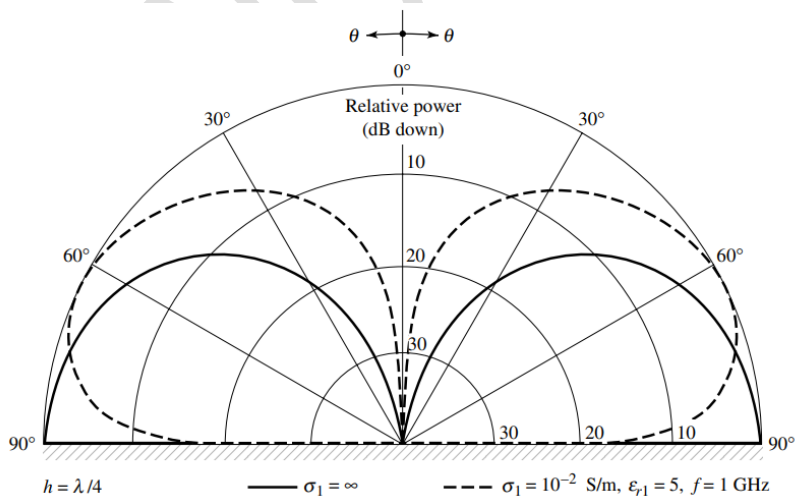
$k_1$  คือ ค่าคงที่เฟสสำหรับกราวด์

โดยใช้การประมาณสนามระยะไกลจากสมการ (4.79ก) - (4.80) จะได้สนามไฟฟ้าทั้งหมดที่บริเวณเหนือระนาบกราวด์ ( $z \geq 0$ ) คือ

$$E_\theta = j\eta \frac{kI_0 l e^{-jk_0 r}}{4\pi r} \sin \theta \left[ e^{jk_1 h \cos \theta} + R_v e^{-jk_1 h \cos \theta} \right] \quad z \geq 0 \quad (4.118)$$

เมื่อ  $R_v$  หาได้จากสมการ (4.116)

ค่าสภาพยอมไฟฟ้าและค่าความนำของพื้นโลกจะเป็นฟังก์ชันกับองค์ประกอบทางธรณีวิทยา โดยเฉพาะความชื้น โดยทั่วไปค่าของสภาพยอมไฟฟ้าสัมพัทธ์  $\epsilon_r$  (ค่าคงที่ไดอิเล็กตริก) จะมีค่าอยู่ในช่วงตั้งแต่ 5 - 500 และค่าความนำ  $\sigma$  อยู่ในช่วงตั้งแต่  $10^{-4} - 1$  S/m



รูปที่ 4.25 แบบรูปแอมพลิจูดในระนาบมุมยกของไดโพลจั่วแนวตั้งวางอยู่บนเนื้อตัวนำไฟฟ้าสมบูรณ์

( $\sigma_1 = \infty$ ) และพื้นโลกราบเรียบ ( $\sigma_1 = 0.01$  S/m,  $\epsilon_{r1} = 5$ ,  $f = 1$  GHz)

แบบรูปที่ได้ถูกนอร์มอลไลซ์ (0 dB) ของไดโพลจั่วที่วางอยู่เหนือระนาบกราวด์  $h = \lambda / 4$ ,  $\epsilon_{r1} = 5$ ,  $f = 1$  GHz,  $\sigma_1 = 10^{-2}$  S/m ได้ถูกแสดงในรูปที่ 4.25 (เส้นประ) เทียบกับตัวนำไฟฟ้าสมบูรณ์  $\sigma_1 = \infty$  (เส้นทึบ) ซึ่งจากรูปจะเห็นได้ว่ากรณีของพื้นดิน สายอากาศจะแผ่พลังงานออกไปในแนวตั้งฉาก ( $60^\circ > \theta > 0^\circ$ ) ที่มีความเข้มมากกว่าตัวนำไฟฟ้าสมบูรณ์ แต่จะหายไปทีบริเวณหน้าดิน ( $\theta = 90^\circ$ ) การที่สนามมีการหายไปบนระนาบแนวนอน ( $\theta = 90^\circ$ ) เพราะค่าสัมประสิทธิ์การสะท้อน  $R_\theta$  มีค่าเข้าใกล้ -1 ที่  $\theta_i \rightarrow 90^\circ$  ดังนั้นกราวด์จะส่งผลต่อแบบรูปของสายอากาศที่มีโพลาริซ์แนวตั้ง และมีแบบรูปแตกต่างจากการนำสายอากาศวางเหนือตัวนำไฟฟ้าสมบูรณ์

#### 4.7.2 ไดโพลไฟฟ้าแนวนอน

ในการวิเคราะห์ไดโพลไฟฟ้าจั่วแนวนอนที่วางอยู่เหนือระนาบกราวด์สามารถหาได้โดยใช้หลักการเดียวกันกับไดโพลไฟฟ้าแนวตั้ง โดยพิจารณาได้จากโครงสร้างในรูปที่ 4.19(ก) และ 4.19(ข) ซึ่งองค์ประกอบของสนามโดยตรงสามารถหาได้จากสมการ (4.102) และองค์ประกอบของสนามสะท้อนสามารถหาได้จากสมการ (4.103) เมื่อสัมประสิทธิ์การสะท้อน  $R_h$  หาได้คือ

$$R_h = \begin{cases} R_\perp & \text{for } \phi = 0^\circ, 180^\circ \text{ plane} \\ R_\parallel & \text{for } \phi = 90^\circ, 270^\circ \text{ plane} \end{cases} \quad (4.119)$$

เมื่อ  $R_\parallel$  คือ สัมประสิทธิ์การสะท้อนสำหรับโพลาริเซชันขนานดังแสดงในสมการ (4.116) และ  $R_\perp$  คือ สัมประสิทธิ์การสะท้อนสำหรับโพลาริเซชันตั้งฉากซึ่งแสดงได้คือ

$$R_\perp = \frac{\eta_1 \cos \theta_i - \eta_0 \cos \theta_t}{\eta_1 \cos \theta_i + \eta_0 \cos \theta_t} \quad (4.119ก)$$

เมื่อมุม  $\theta_i$  และมุม  $\theta_t$  สัมพันธ์กับกฎการหักเหของแสงดังแสดงในสมการ (4.117)

โดยการใช้การประมาณสนามระยะไกลจากสมการ (4.106ก) - (4.106ข) จะได้สนามไฟฟ้าทั้งหมดที่บริเวณเหนือระนาบกราวด์ ( $z \geq h$ ) คือ

$$E_\psi = j\eta \frac{kI_0 l e^{-jkr}}{4\pi r} \sqrt{1 - \sin^2 \theta \sin^2 \phi} \left[ e^{jkh \cos \theta} + R_h e^{-jkh \cos \theta} \right] \quad z \geq h \quad (4.120)$$

เมื่อ  $R_h$  หาได้จากสมการ (4.119)

แบบรูปที่ได้ถูกนอร์มอลไลส์ (0 dB) ในระนาบ  $y - z$  ( $\phi = 90^\circ$ ) ของไดโพลจิวแนวนอนที่วางอยู่เหนือระนาบกราวด์ที่  $h = \lambda / 4$  ได้ถูกแสดงในรูปที่ 4.26 (เส้นประ) เทียบกับตัวนำไฟฟ้าสมบูรณ์  $\sigma_1 = \infty$  (เส้นทึบ) ซึ่งบนบริเวณอากาศว่างเหนือรอยต่อ ( $60^\circ > \theta > 0^\circ$ ) แบบรูปของสายอากาศที่วางเหนือพื้นดินไม่ได้มีความแตกต่างจากกรณีที่วางอยู่เหนือตัวนำไฟฟ้าสมบูรณ์ แต่จะเริ่มแตกต่างเห็นได้ชัดเมื่อสัมประสิทธิ์การสะท้อน  $R_h$  มีค่าเข้าใกล้ -1 ที่  $\theta_i \rightarrow 90^\circ$  ดังนั้นแบบรูปของไดโพลแนวนอนวางอยู่เหนือพื้นผิวที่มีการสูญเสียไม่ได้มีความแตกต่างอย่างมีนัยสำคัญเมื่อเทียบกับการวางสายอากาศบนตัวนำไฟฟ้าสมบูรณ์

#### คำถามท้ายบทที่ 4

4.1 ไดโพลไฟฟ้าจิววางในแนวนอนที่มีกระแสคงที่  $I_0$  อยู่บนแกน  $x$  ที่จุดกำเนิด จงพิสูจน์หา

(ก) สนามระยะไกลที่แผ่กระจายโดยไดโพล

(ข) สภาพเจาะจงทิศทางของสายอากาศ

4.2 การกระจายของกระแสของสายอากาศความยาว  $l$  ได้ถูกกำหนดเป็น

$$\mathbf{I} = \mathbf{a}_z I_0 e^{-jkz'}$$

จงพิสูจน์หา

(ก) องค์ประกอบสนามไฟฟ้าและสนามแม่เหล็กที่สนามระยะไกล

(ข) ความหนาแน่นการแผ่พลังงาน

4.3 สายอากาศไดโพลพอมความยาว  $l$  วางบนแกน  $z$  จงหาองค์ประกอบสนามไฟฟ้าและสนามแม่เหล็กที่สนามระยะไกล ถ้าการกระจายของกระแสบนสายอากาศประมาณได้โดย

$$(ก) I_z(z') = \begin{cases} I_0 \left(1 + \frac{2}{l} z'\right), & -l/2 \leq z' \leq 0 \\ I_0 \left(1 - \frac{2}{l} z'\right), & 0 \leq z' \leq l/2 \end{cases}$$

$$(ข) I_z(z') = I_0 \cos\left(\frac{\pi}{l} z'\right), \quad -l/2 \leq z' \leq l/2$$

$$(ค) I_z(z') = I_0 \cos^2\left(\frac{\pi}{l} z'\right), \quad -l/2 \leq z' \leq l/2$$

4.4 จงคำนวณหาความต้านทานการแผ่พลังงานของไดโพลเล็ก (การกระจายกระแสแบบสามเหลี่ยม) ความยาว 0.3 เมตร ทำงานที่ความถี่ 100 MHz ถ้าความต้านทานรวมของสายอากาศมีค่าเท่ากับ 2.2 โอห์ม จงคำนวณหาพื้นที่ประสิทธิภาพสูงสุดและประสิทธิภาพการแผ่พลังงานของไดโพล

**เฉลย** 197 โอห์ม,  $0.9597 \text{ m}^2$ , 89.5%

4.5 จงหาประสิทธิภาพการแผ่พลังงานของไดโพลที่มีความยาว

$$(ก) \ l = \lambda / 50 \quad (ข) \ l = \lambda / 4 \quad (ค) \ l = \lambda / 2 \quad (ง) \ l = \lambda$$

ถ้าสมมติให้ไดโพลสร้างจากทองแดง ( $\sigma = 5.7 \times 10^7 \text{ S/m}$ ) รัศมีเท่ากับ  $10^{-4} \lambda$  ทำงานที่ความถี่  $f = 10 \text{ GHz}$

4.6 ไดโพลเรโซแนนซ์ที่ถูกป้อนตรงกลางเชื่อมต่อกับสายนำสัญญาณ 50 โอห์ม ต้องการให้คงค่า VSWR=2

(ก) ค่าความต้านทานอินพุทของไดโพลสูงสุดต้องมีค่าเท่ากับเท่าใด ที่ยังคงค่า VSWR=2

(ข) ความต้านทานการแผ่พลังงานของไดโพลมีค่าเท่ากับเท่าใด

4.7 ระบบสื่อสารสถานีฐานโทรศัพท์เคลื่อนที่ที่ใช้สายอากาศอาร์เรย์ไดโพล  $\lambda / 2$  เป็นสายอากาศส่งและรับ สมมติให้สายอากาศไม่มีการสูญเสียและมีกำลังงานที่อินพุทของสายอากาศเท่ากับ 1 วัตต์ ที่ความถี่ 1900 MHz ที่ระยะทาง 5 กิโลเมตร จงคำนวณหา

(ก) ความเข้มการแผ่พลังงาน

(ข) ความหนาแน่นการแผ่พลังงาน (ในหน่วย  $\text{W/m}^2$ )

4.8 สายอากาศไดโพลครึ่งความยาวคลื่น ( $l = \lambda / 2$ ) ไม่มีการสูญเสีย ได้ถูกเชื่อมต่อกับสายนำสัญญาณที่มีอิมพีแดนซ์คุณลักษณะเท่ากับ 75 โอห์ม จงหา

(ก) สัมประสิทธิ์การสะท้อน ทั้งขนาดและเฟส (หน่วยเป็นองศา)

(ข) VSWR

(ค) ถ้าต้องการให้ไดโพลเรโซแนนซ์ที่ความถี่ 100 MHz จะต้องใช้ตัวเก็บประจุหรือตัวเหนี่ยวนำเข้าไปต่ออนุกรมกับไดโพลและมีค่าเท่ากับเท่าใด

(ง) หาค่า VSWR ใหม่ของเรโซแนนซ์ไดโพล

4.9 สายอากาศไดโพลครึ่งความยาวคลื่น ( $l = \lambda / 2$ ) ไม่มีการสูญเสีย ได้ถูกเชื่อมต่อกับสายนำสัญญาณที่มีอิมพีแดนซ์คุณลักษณะเท่ากับ 50 โอห์ม จงหา

(ก) VSWR

(ข) ถ้าต้องการให้ไดโพลเรโซแนนซ์ที่ความถี่ 1900 MHz จะต้องใช้ตัวเก็บประจุหรือตัวเหนี่ยวนำเข้าไปต่อขนานกับไดโพลและมีค่าเท่ากับเท่าใด

(ค) หาค่า VSWR ใหม่ของเรโซแนนซ์ไดโพล

4.10 สายอากาศไดโพลครึ่งความยาวคลื่นวางในแนวตั้งเหนือระนาบกราวด์ไฟฟ้าขนาดอนันต์ จงคำนวณหา

(ก) อิมพีแดนซ์การแผ่พลังงาน (พิจารณาที่กระแสมีค่าสูงสุด)

(ข) อิมพีแดนซ์อินพุท

(ค) VSWR เมื่อสายอากาศเชื่อมต่อกับสายนำสัญญาณที่มีอิมพีแดนซ์คุณลักษณะเท่ากับ 50 โอห์ม และไม่มีการสูญเสีย

4.11 สายอากาศโมโนโพลเส้นลวดบางมาก ๆ ความยาว  $\lambda / 2$  มีการกระแสนเส้นลวดเป็นแบบไซน์ซอยด์ (Sinusoid) ได้ถูกวางบนตัวนำไฟฟ้าสมบูรณ์ (Perfect electric conductor) ขนาดอนันต์ โดยสายอากาศโมโนโพลได้ถูกป้อนสัญญาณที่ปลายเส้นลวดด้านล่างด้วยสายนำสัญญาณที่มีอิมพีแดนซ์คุณลักษณะ  $50 \Omega$  จงหา

(ก) จงหาความต้านทานการแผ่พลังงานของสายอากาศโมโนโพล

(ข) สภาพเจาะจงทิศทางของสายอากาศโมโนโพล

(ค) ถ้าสายอากาศโมโนโพลทำงานที่ความถี่ 300 MHz จงหาพื้นที่ประสิทธิภาพสูงสุด